



Univerzita Karlova v Praze
Matematicko-fyzikální fakulta
katedra fyziky atmosféry
V Holešovičkách 2, Praha 8



Atmosférická chemie

—

od znečištění ovzduší
přes ozonovou díru
ke změně klimatu

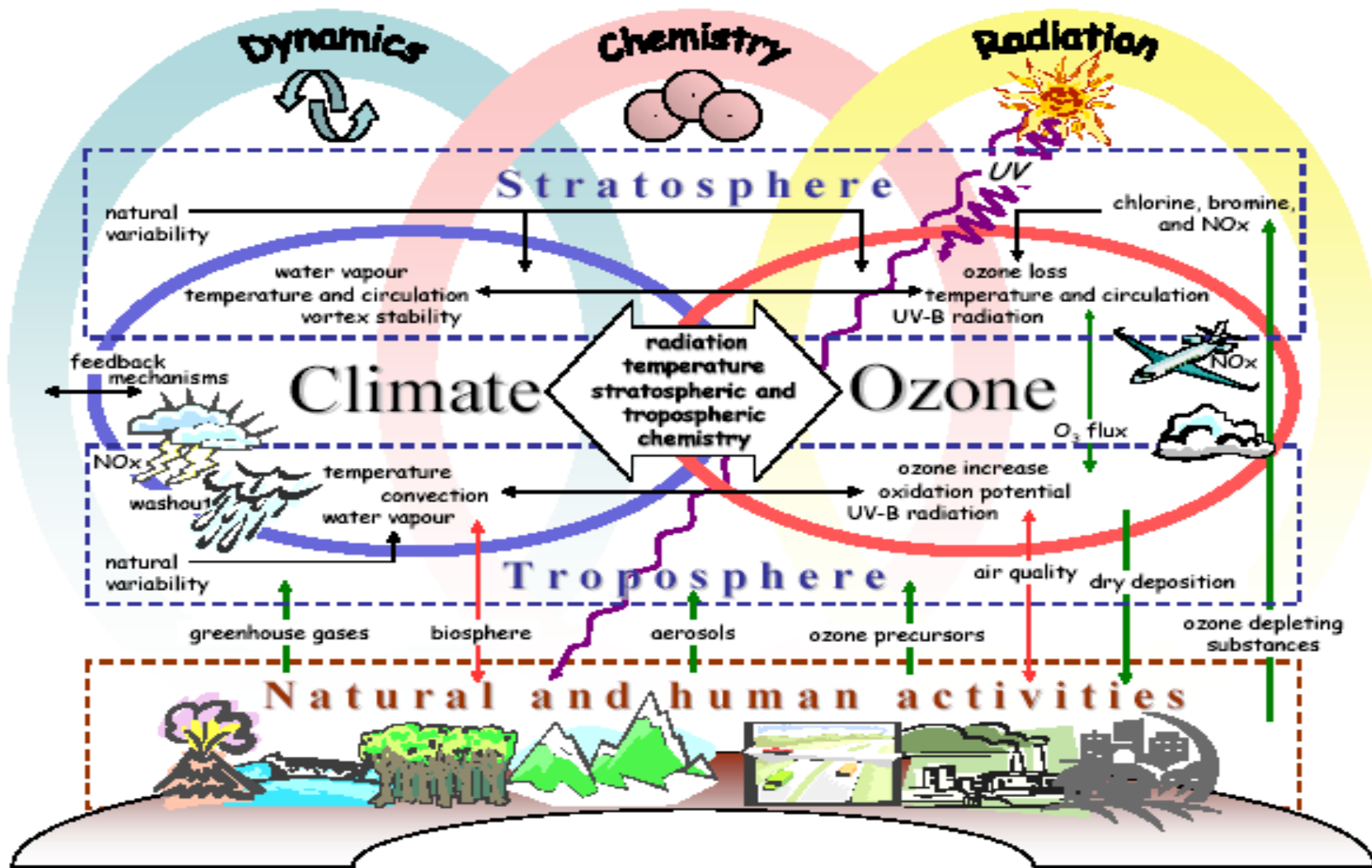


T.HALENKA

tomas.halenka@mff.cuni.cz



Chemie v zemské atmosféře



Nobelova cena za chemii v r. 1995 byla udělena atmosférickým vědcům (P. Crutzen, M. Molina a F. S. Rowland)

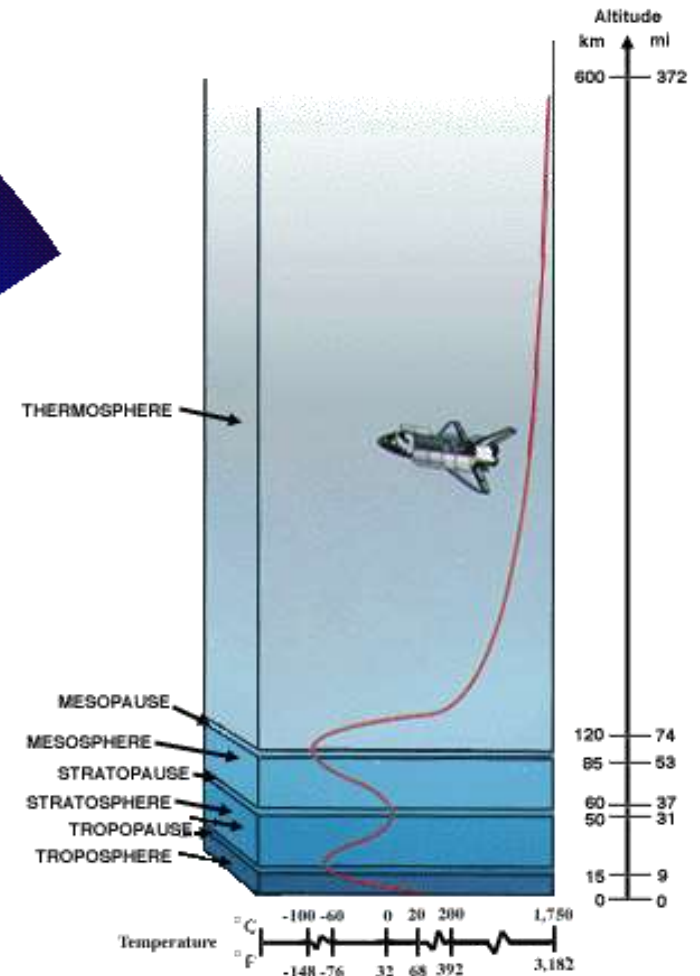
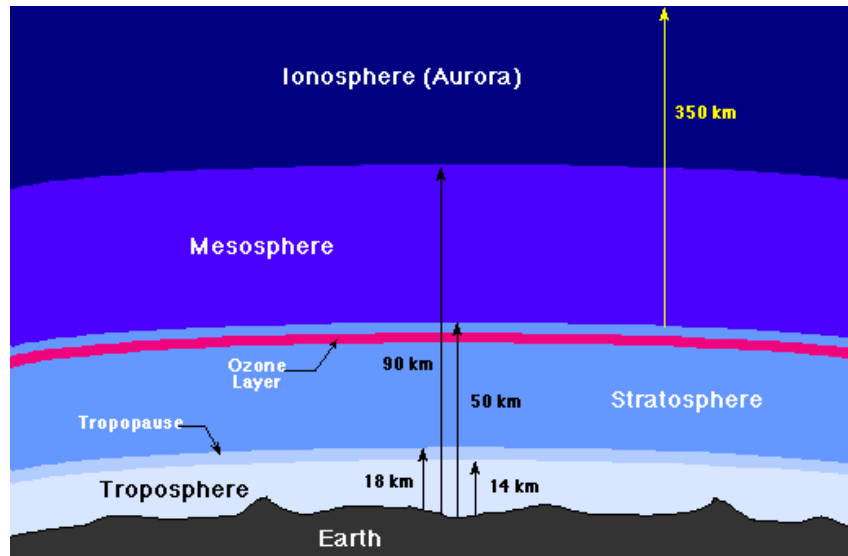
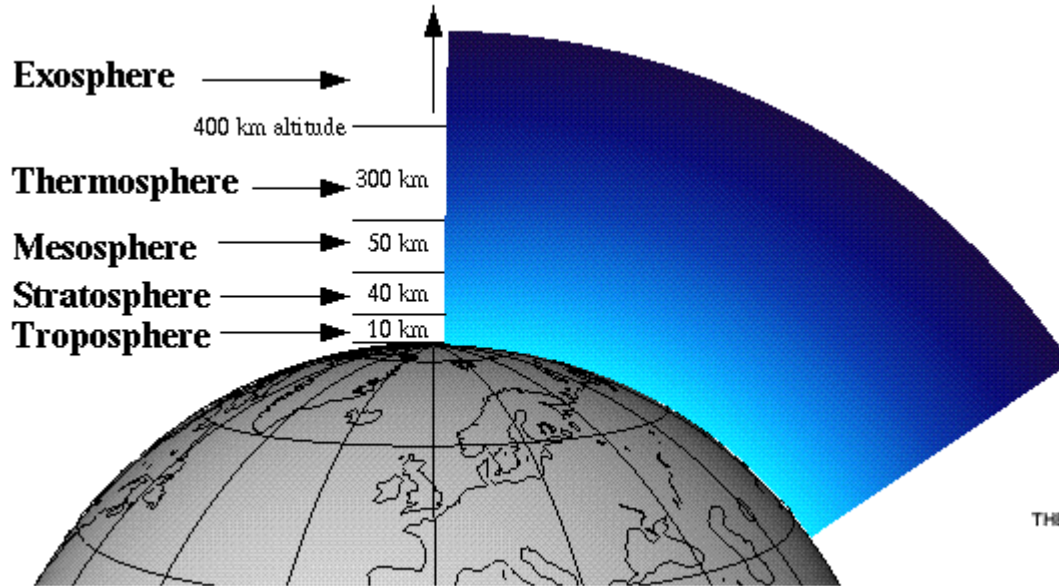
Obsah

- Složení zemské atmosféry
- Kvalita ovzduší
- Ozónová díra
- Klimatická změna

Obsah

- **Složení zemské atmosféry**
- Kvalita ovzduší
- Ozónová díra
- Klimatická změna

Struktura zemské atmosféry



Chemické složení

- konstantní složky (v spodní atmosféře)

| Název | Chemické složení | Podíl (%) (objemová, vs. suchý vzduch) |
|----------|------------------|---|
| Nitrogen | N ₂ | 78.08 |
| Oxygen | O ₂ | 20.95 |
| Argon | Ar | 0.93 |
| Neon | Ne | 0.0015 |
| Helium | He | 0.0005 |
| Hydrogen | H ₂ | 0.00005 |
| Xenon | Xe | 0.000005 |

- proměnné složky

| Název | Chemické složení | Podíl (%) (objemová, vs. suchý vzduch) |
|----------------------------|------------------|---|
| Water vapor | H ₂ O | 0.00001 to 4 |
| Carbon dioxide | CO ₂ | 0.036 |
| Methane | CH ₄ | 0.00017 |
| Nitrous oxide | N ₂ O | 0.00003 |
| Ozone | O ₃ | 0.000003-0.001 |
| Particulate matter | ----- | 0.000001 |
| Chlorofluorocarbons (CFCs) | ----- | 0.00000001 |

Dusík

- N, atomové číslo 7, bezbarvý plyn
- Atomová hmotnost 14,0067
- Hustota 1,2506 kg/m³ (při 273 K)
- Amoniak, oxidy dusíku - valence N⁺¹ až N⁺⁵
- Kyseliny

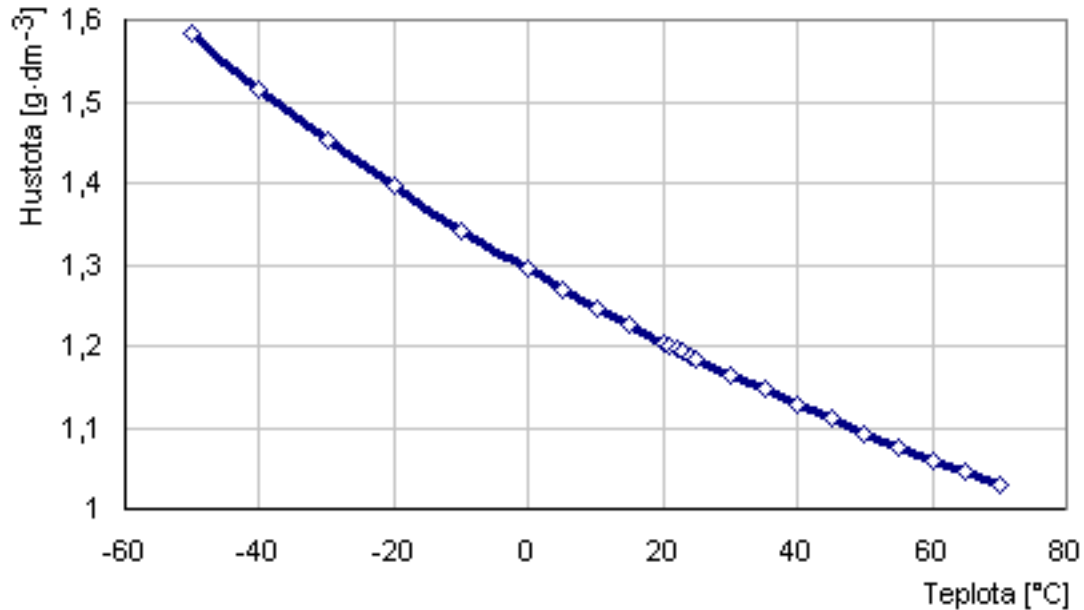
Oxidy dusíku

- Oxid dusný N_2O (rajský plyn, dříve narkotikum při chirurgických operacích, dnes hnací plyn ve sprejích)
- Oxid dusnatý NO – vedlejší produkt spalování fosilních paliv, technologií
- Oxid dusitý N_2O_3
- Oxid dusičitý NO_2 - produkt fotooxidace NO .
- Oxid dusičný N_2O_5
- Základní součásti tzv. losangelského smogu

Kyslík

- O, atomové číslo 8, bezbarvý plyn,
- stabilní izotopy 16, 17, 18
- Atomová hmotnost 15,9994
- Hustota 1,429 kg/m³ (0 °C, 101,325 kPa)

Hustota vzduchu



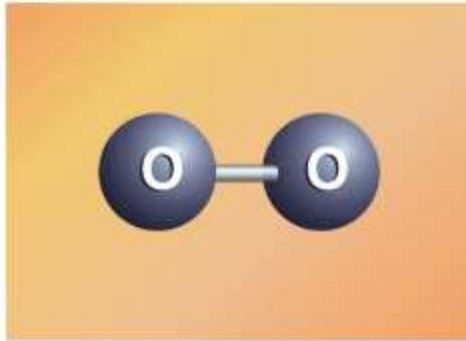
| | Objemová % | Hmotnostní % |
|-----------------|------------|--------------|
| N ₂ | 78,084 % | 75,51 % |
| O ₂ | 20,946 % | 23,16 % |
| Ar | 0,934 % | 1,28 % |
| CO ₂ | 0,033 % | 0,05 % |

Kyslík a ozón

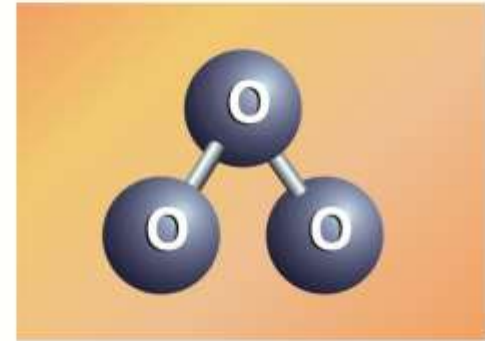
Oxygen
atom (O)



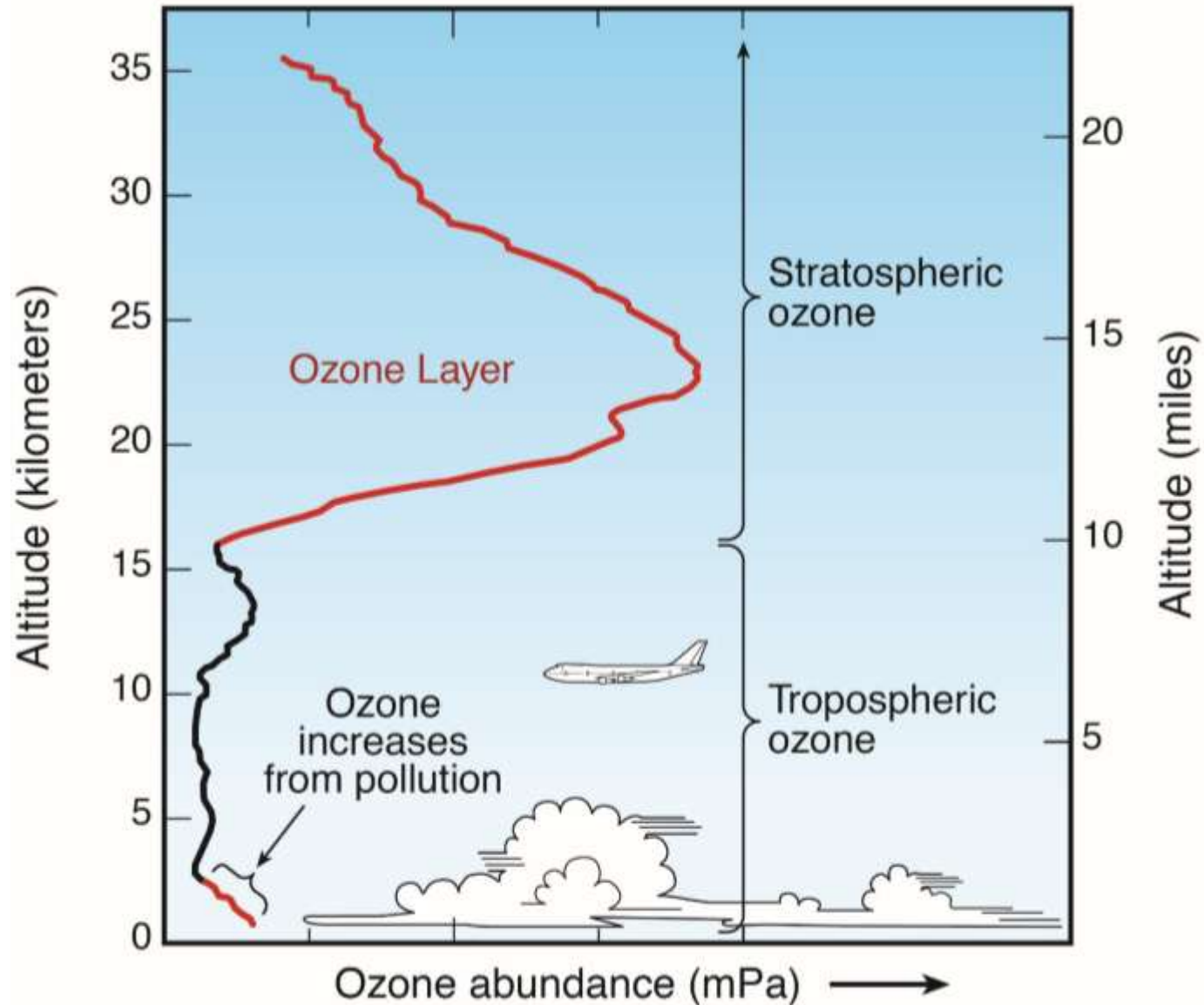
Oxygen
molecule (O₂)



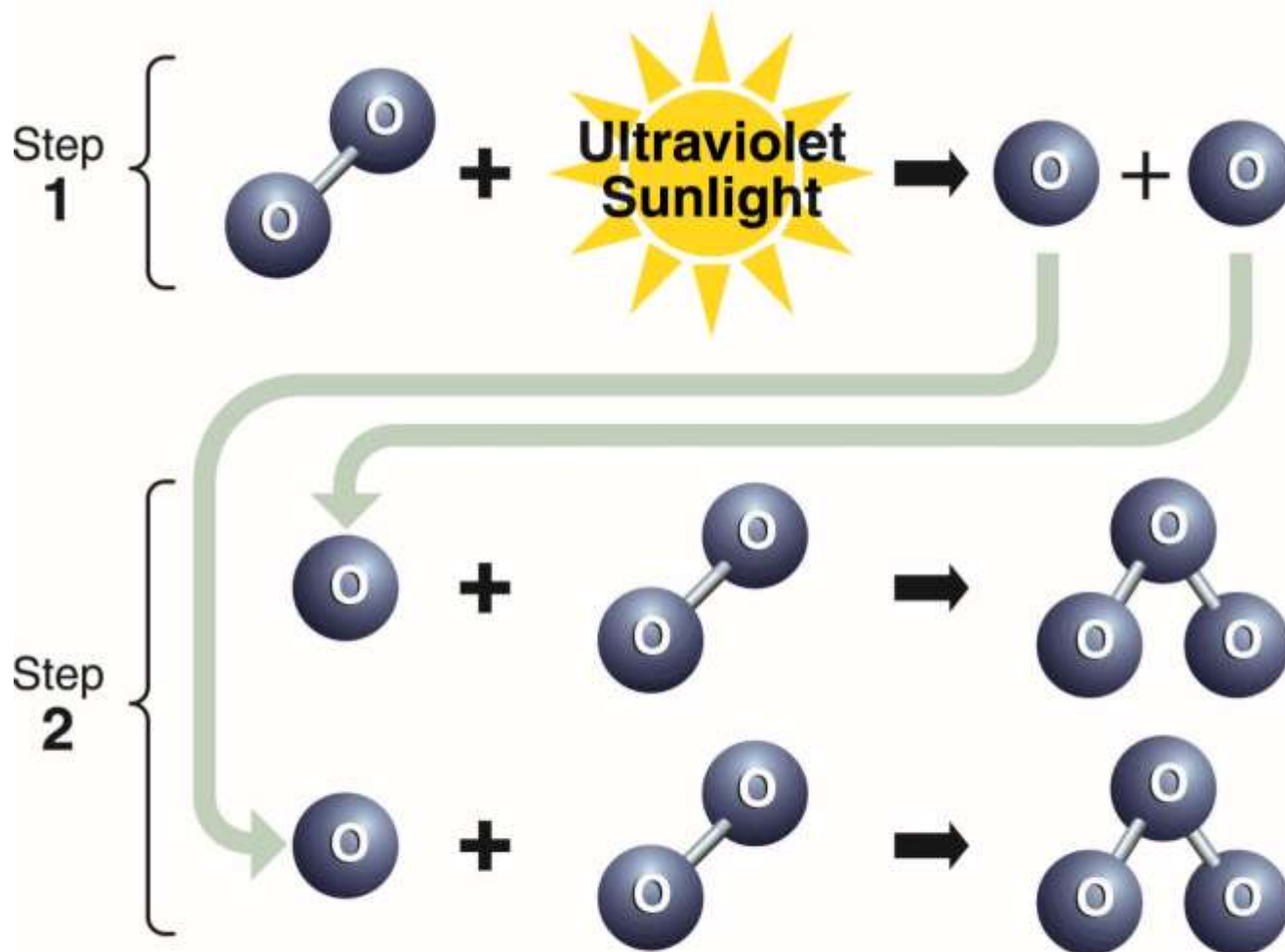
Ozone
molecule (O₃)



Ozón v atmosféře



Vznik ozónu ve stratosféře

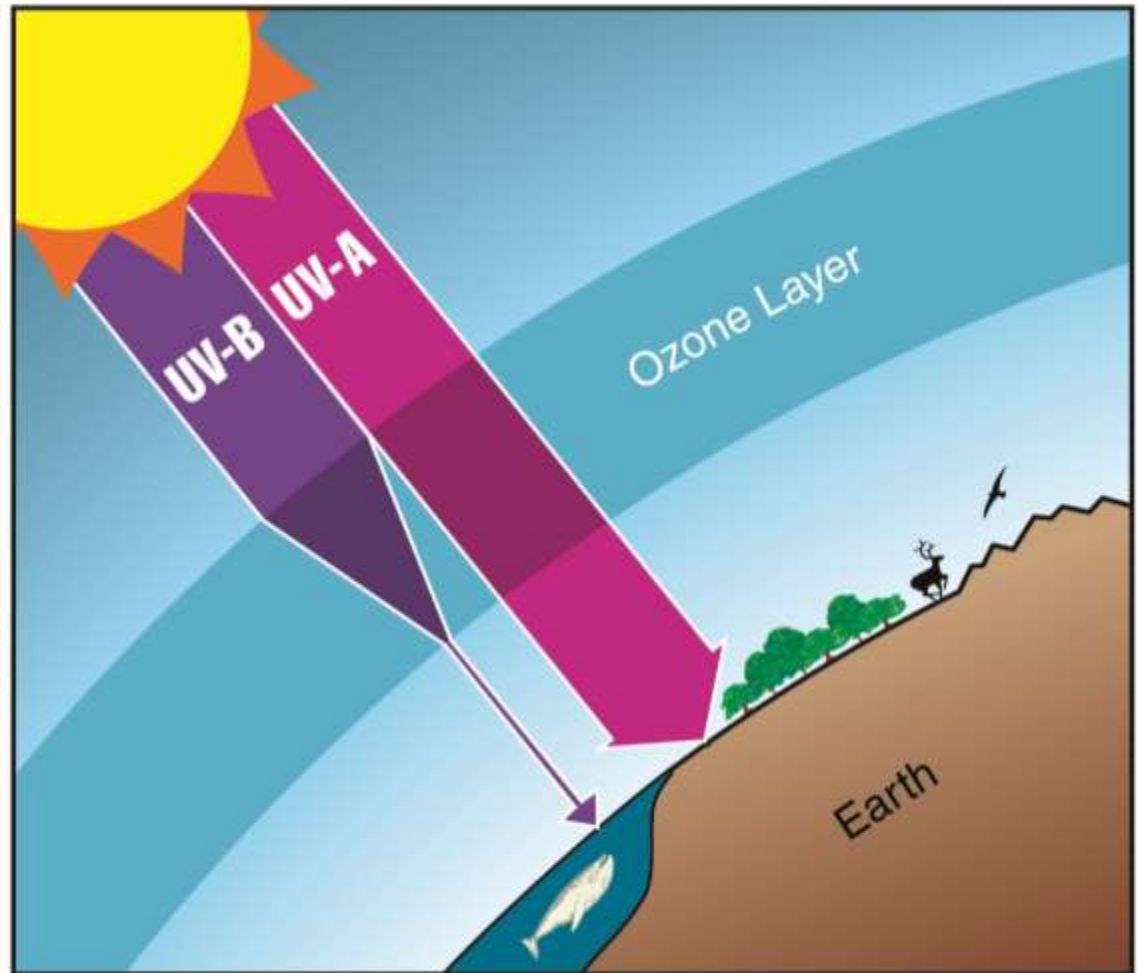


Ozónová vrstva chrání před UV zářením

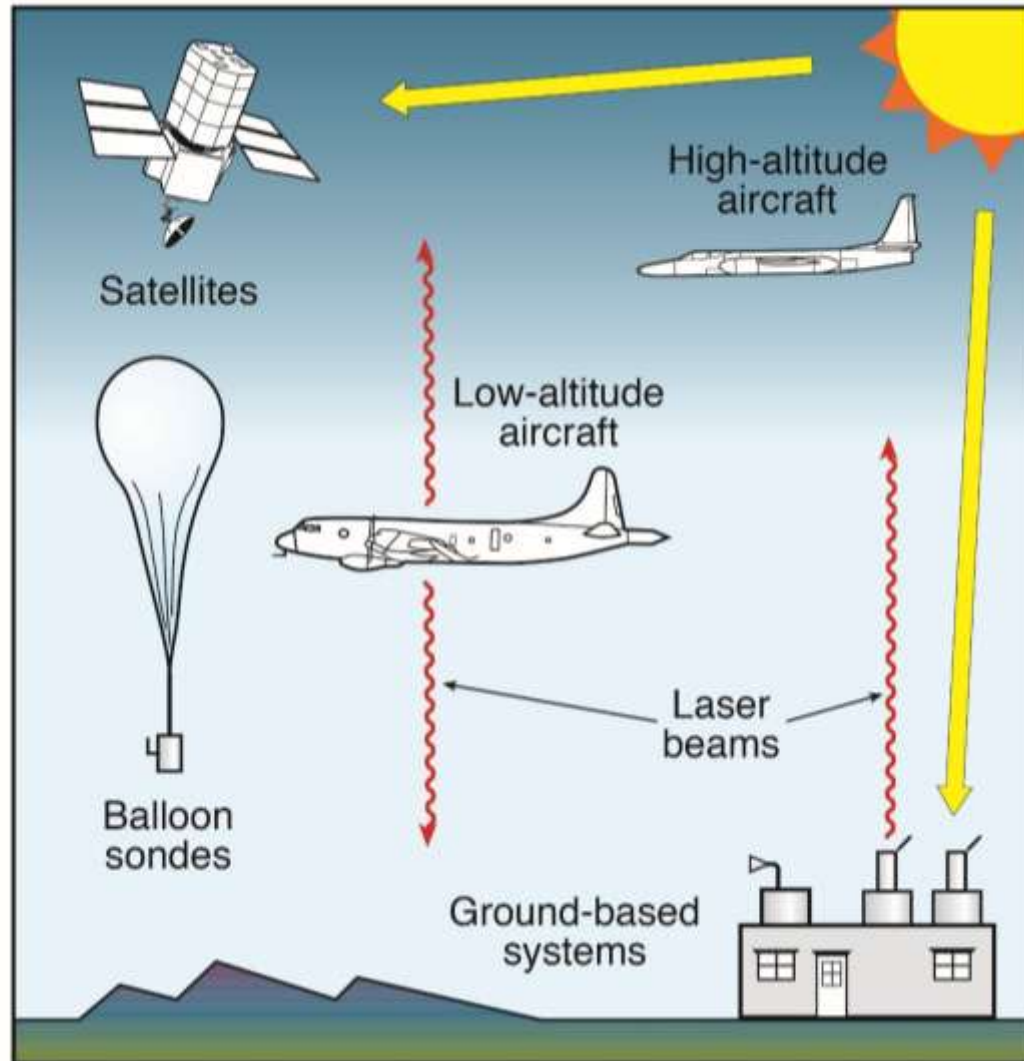
UV-A (320-400 nm)

UV-B (280-320 nm)

UV-C (200-280 nm)



Měření ozónu

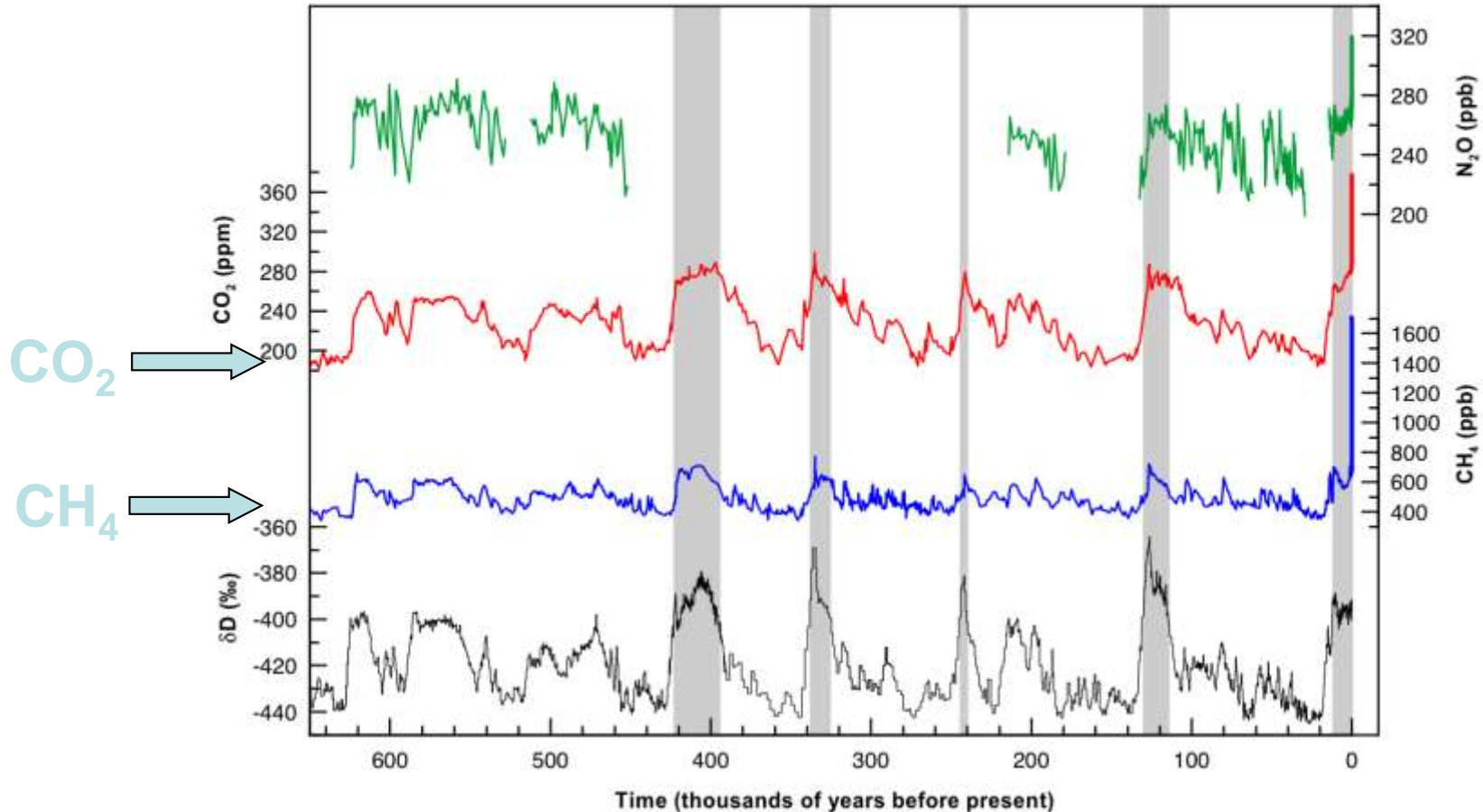


Skleníkové plyny

- Vodní pára
- Carbon dioxide
- Methane
- Nitrous oxide
- Chlorofluorocarbons (CFCs)
- Ozone

Skleníkové plyny

Glacial-Interglacial Ice Core Data



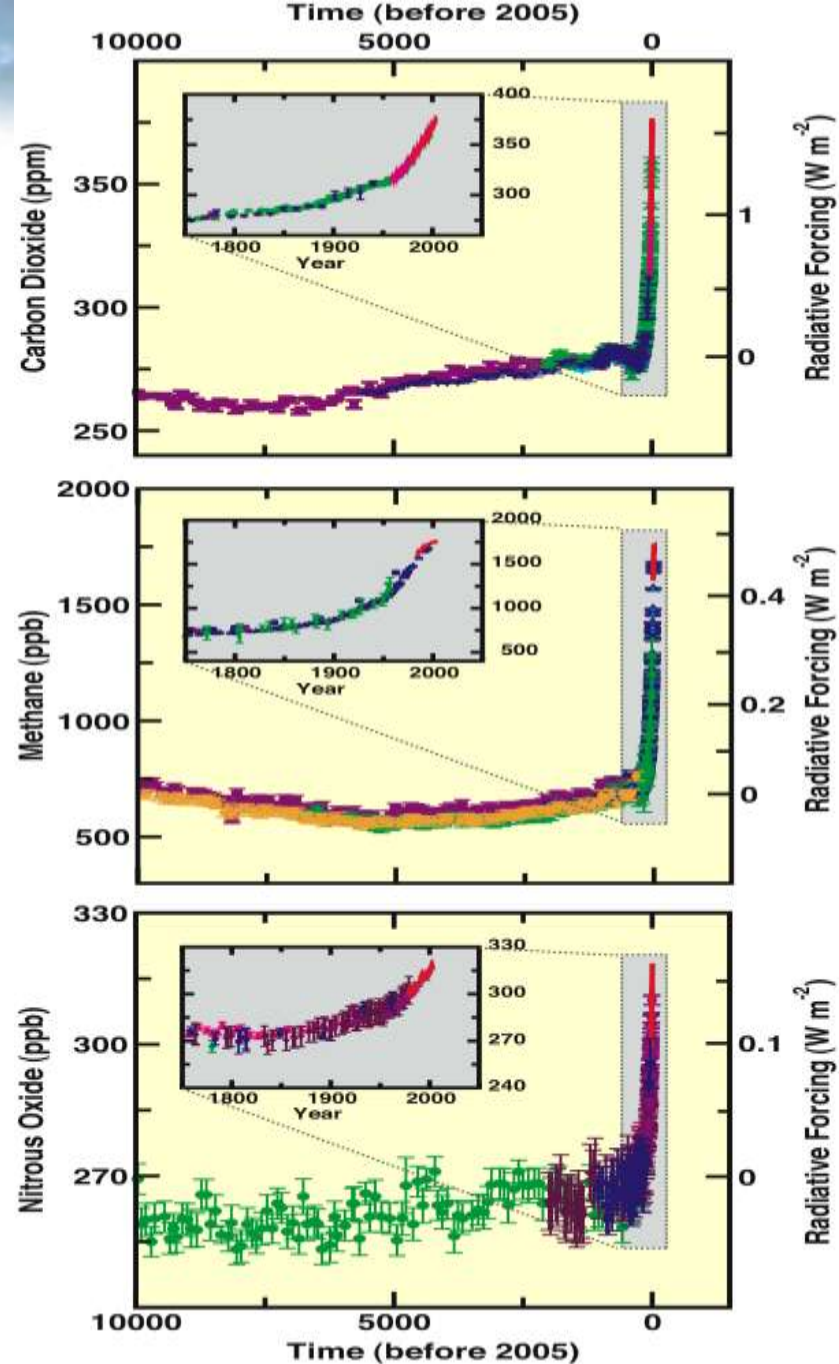
The atmospheric concentration of CO₂ and CH₄ in 2005 exceeds by far the natural range of the last 650,000 years

Skleníkové plyny

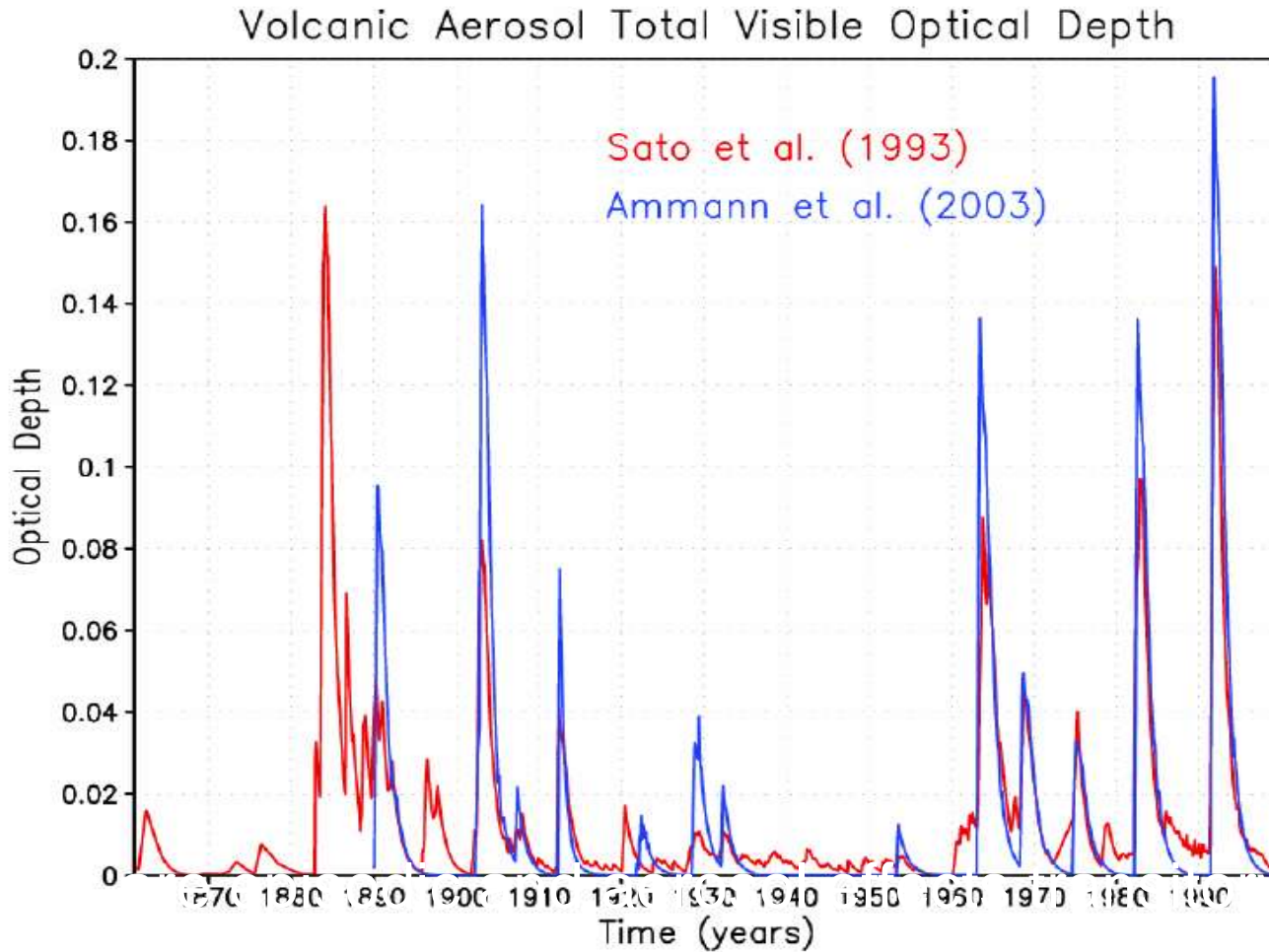
CO₂, CH₄ and N₂O Concentrations

- far exceed pre-industrial values
- increased markedly since 1750 due to human activities

Relatively little variation before the industrial era



Aerosol



Obsah

- Složení zemské atmosféry
- **Kvalita ovzduší**
- Ozónová díra
- Klimatická změna

Kvalita ovzduší

- úroveň znečištění vnějšího ovzduší, která může svými účinky ovlivňovat lidské zdraví, vegetaci, ekosystémy i materiály
- způsobena vypouštěním znečišťujících látek z různých zdrojů v důsledku lidské činnosti (např. doprava, spalování, průmyslová výroba, a další)
- znečišťující látky jsou po vypuštění ze zdroje přenášeny v atmosféře a mohou tak ovlivňovat kvalitu ovzduší jak v nejbližším okolí samotného zdroje znečištění, tak i ve vzdálenějších oblastech.

(MŽP)

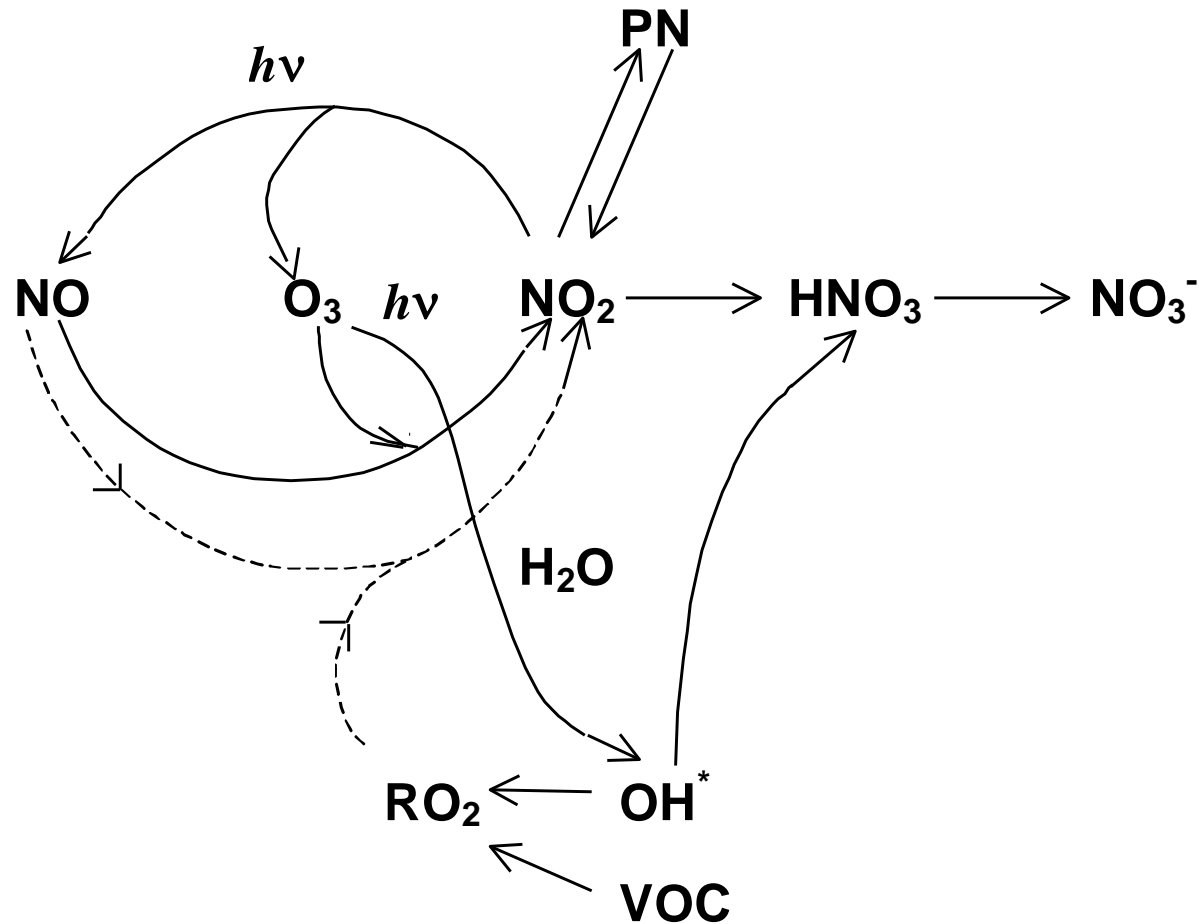
Základní procesy

- není třeba zvlášť rozlišovat mezi přirozenou chemií „čisté“ troposféry a chemismem antropogenně znečištěné troposféry
- neuvažujeme-li nějaké speciální zvláštnosti (např. těžké kovy), je v obou případech základem schéma procesů mezi VOC (volatile organic compounds) a NO_x
- výběr reakcí a jejich rychlost závisejí na dostupných koncentracích - zatímco v antropogenně znečištěné atmosféře převládají reakce startující od NO , v „čisté“ troposféře se uplatní další radikály

Základní procesy

- na rozdíl od stratosféry, kde ozonové chemii dominuje vedle ozónu atomární kyslík, v troposféře nejsou podmínky pro dlouhé přežití atomárního kyslíku a jeho úlohu přebírá radikál OH , jehož vznik lze popsat reakcemi
$$O_3 + h\nu \rightarrow O(^1D) + O_2$$
$$O(^1D) + H_2O \rightarrow 2OH$$
- první probíhá pro vlnové délky menší než 340 nm, generuje excitovaný atomární kyslík, který je nejen vzápětí deaktivován za spoluúčasti molekulárního dusíku a kyslíku a dále zpět vytváří s molekulárním kyslíkem ozón, ale reaguje s vodní párou v troposféře přítomnou

Základní procesy



Imisní limity

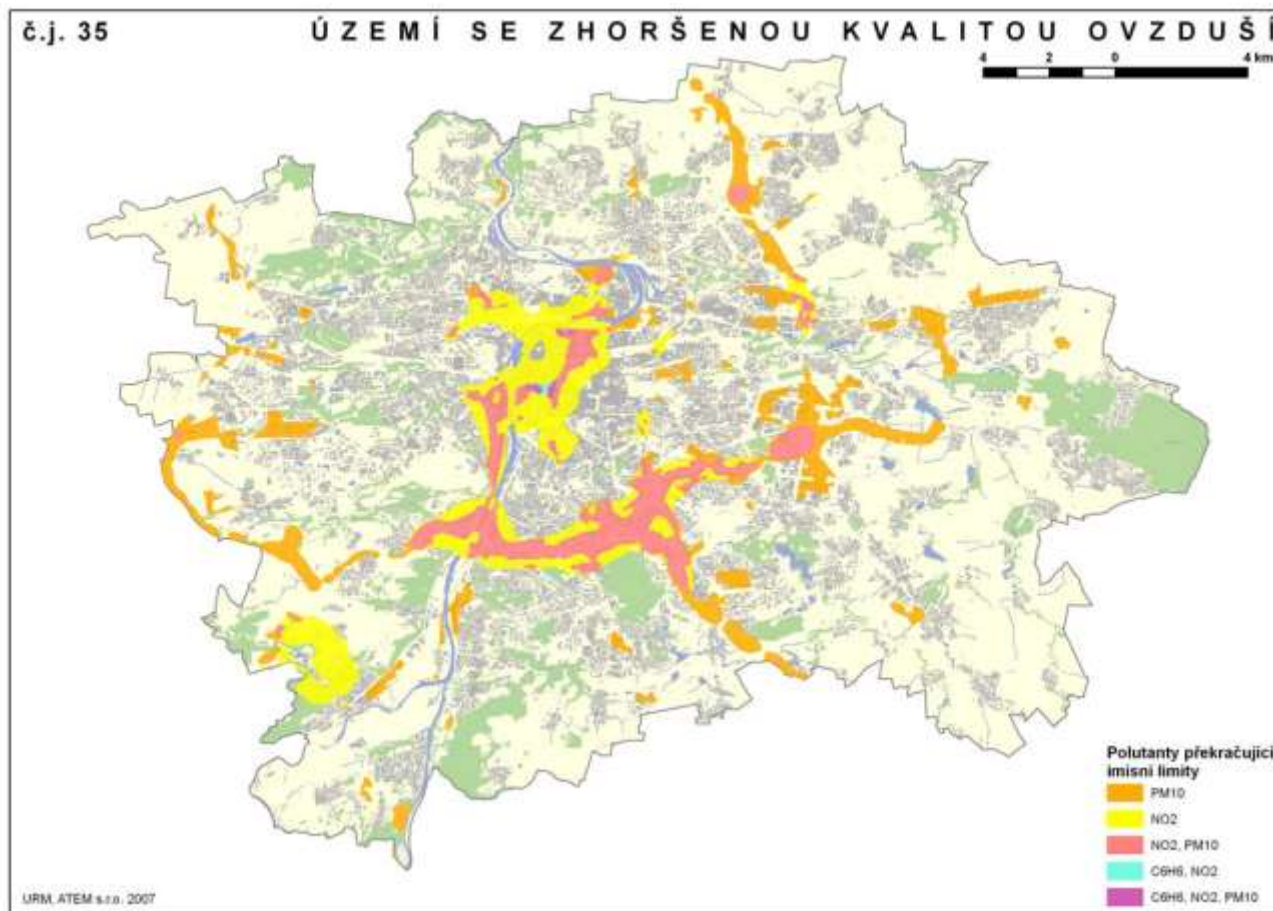
- SO₂ 1 hodina 350 µg/m³
- SO₂ 24 hodin 125 µg/m³
- NO₂ 1 hodina 200 µg/m³
- O₃ 8 hodin 120 µg/m³
- PM₁₀ 24 hodin 50 µg/m³

Praha

Hlavní sledované škodliviny

- 1. SO₂, NO₂, CO**
- 2. Organické látky (benzén, benzo(a)(pyrén)**
- 3. Respirabilní tuhé částice PM₁₀, PM_{2,5}**
- 4. Těžké kovy (olovo, kadmium, nikl, arsen**
- 5. Přízemní ozón**

Praha - limity

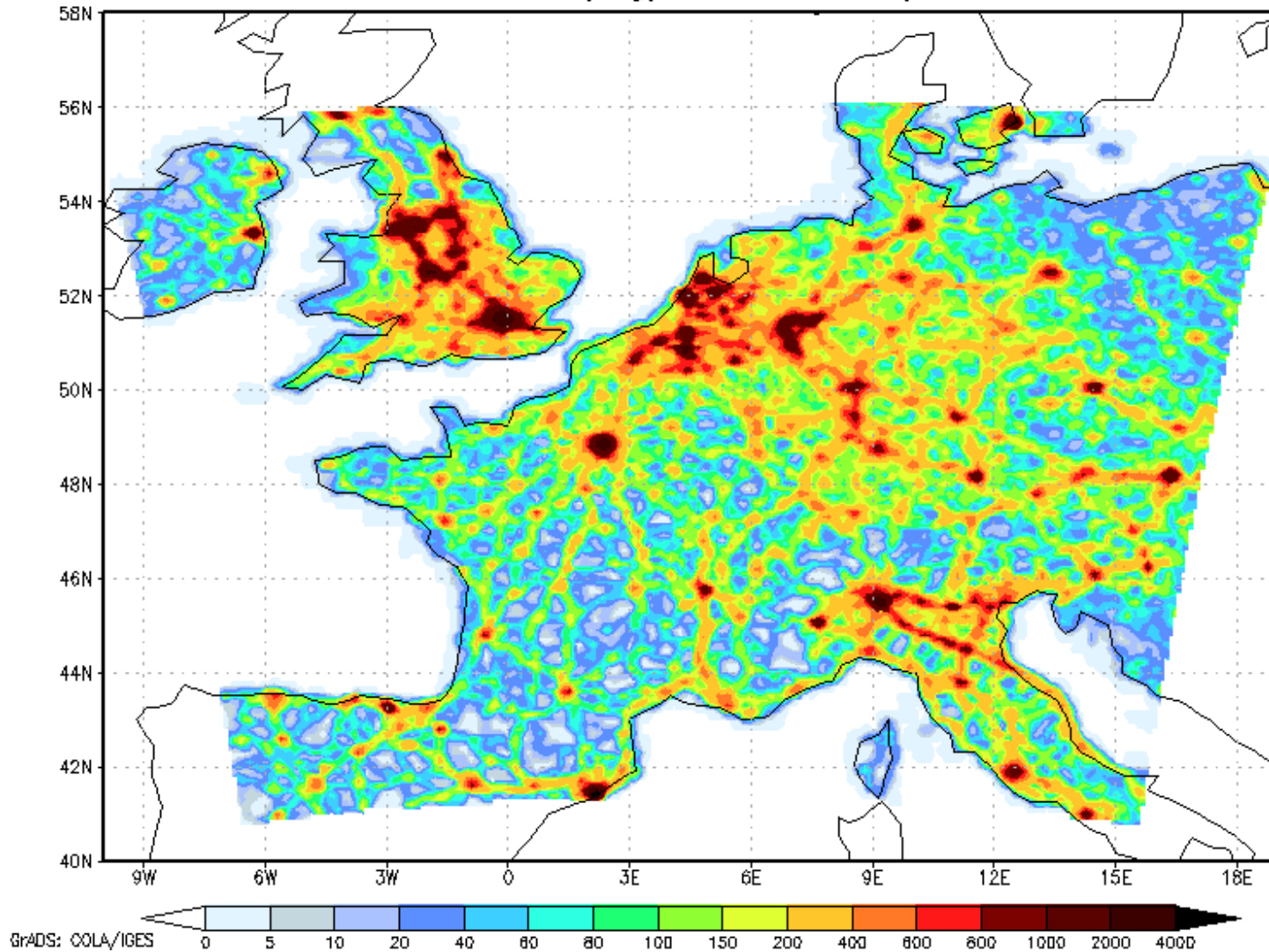


Praha

- **SO₂** – výrazný pokles, k překračování limitů nedochází
- **NO₂** – koncentrace překračují limity, zejména v blízkosti frekventovaných komunikací, koncentrace se nesnižují, spíše narůstají vlivem zvýšené dopravní zátěže
- **PM₁₀, PM_{2.5}** – koncentrace jsou překračovány v centru města a v blízkosti frekventovaných komunikací, nejvíc na ul. Legerově a ul. Svornosti
- **Benzen, benzo(a)pyren** – k překračování limitů dochází pouze na frekventovaných komunikacích v centru
- **Olovo** – nedochází k překračování, **arsen** - pouze na malé oblasti
- **Ozón** – překračování převážně v letních měsících v okrajových částech města

Doprava

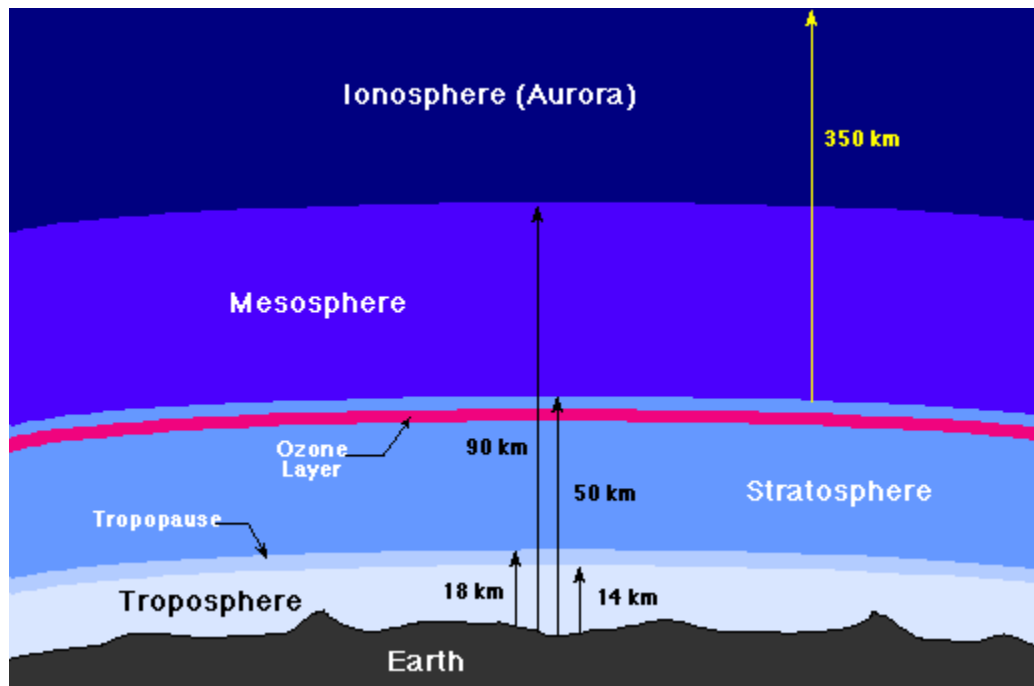
NO_x emissions (Mg) from transport, 2005



Obsah

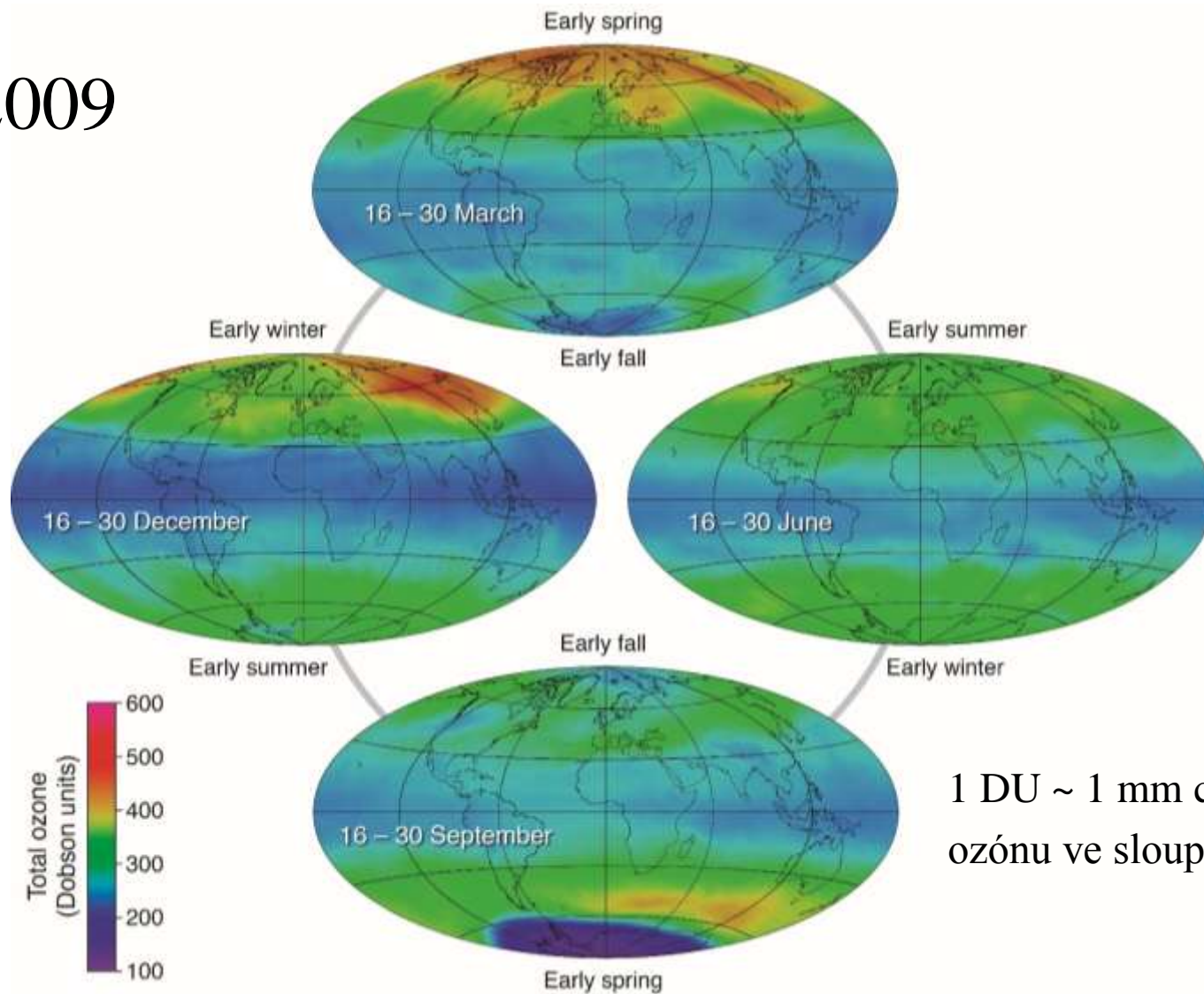
- Složení zemské atmosféry
- Kvalita ovzduší
- **Ozónová díra**
- Klimatická změna

Ozónová vrstva



Globální mapa celkového ozónu

2009



Principal Steps in the Depletion of Stratospheric Ozone

1

Emissions

Halogen source gases are emitted at Earth's surface by human activities and natural processes.



2

Accumulation

Halogen source gases accumulate in the atmosphere and are globally distributed throughout the lower atmosphere by winds and other air motions.



3

Transport

Halogen source gases are transported to the stratosphere by air motions.



4

Conversion

Most **halogen source gases** are converted in the stratosphere to **reactive halogen gases** in chemical reactions involving ultraviolet radiation from the Sun.



5

Chemical reaction

Reactive halogen gases cause chemical depletion of stratospheric **ozone** over the globe.



6

Removal

Air containing **reactive halogen gases** returns to the troposphere where the gases are removed by moisture in clouds and rain.

6

Low-temperature surface reactions on polar stratospheric clouds (PSCs) significantly increase **reactive halogen gases** and thereby cause severe **ozone** loss in polar regions in late winter and early spring.

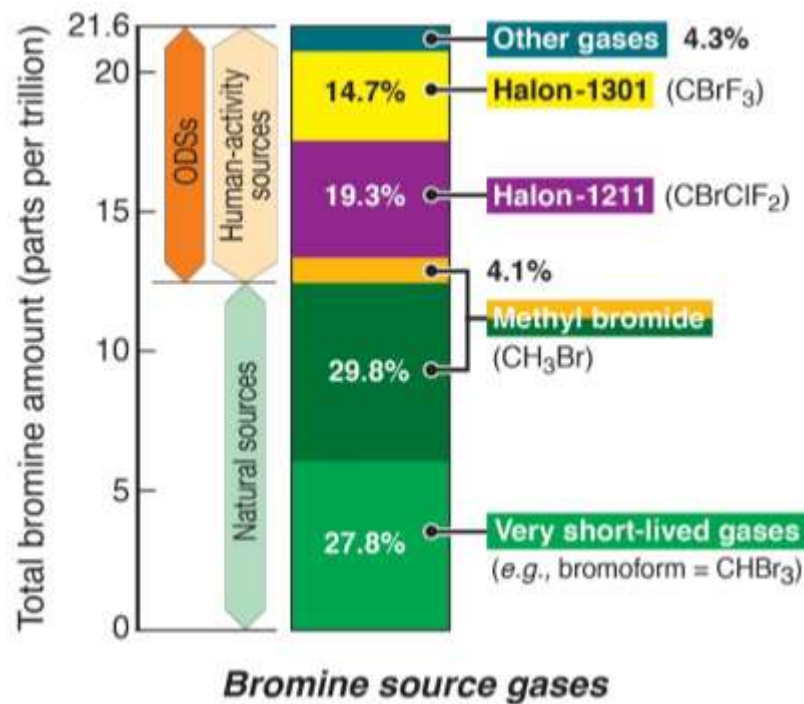
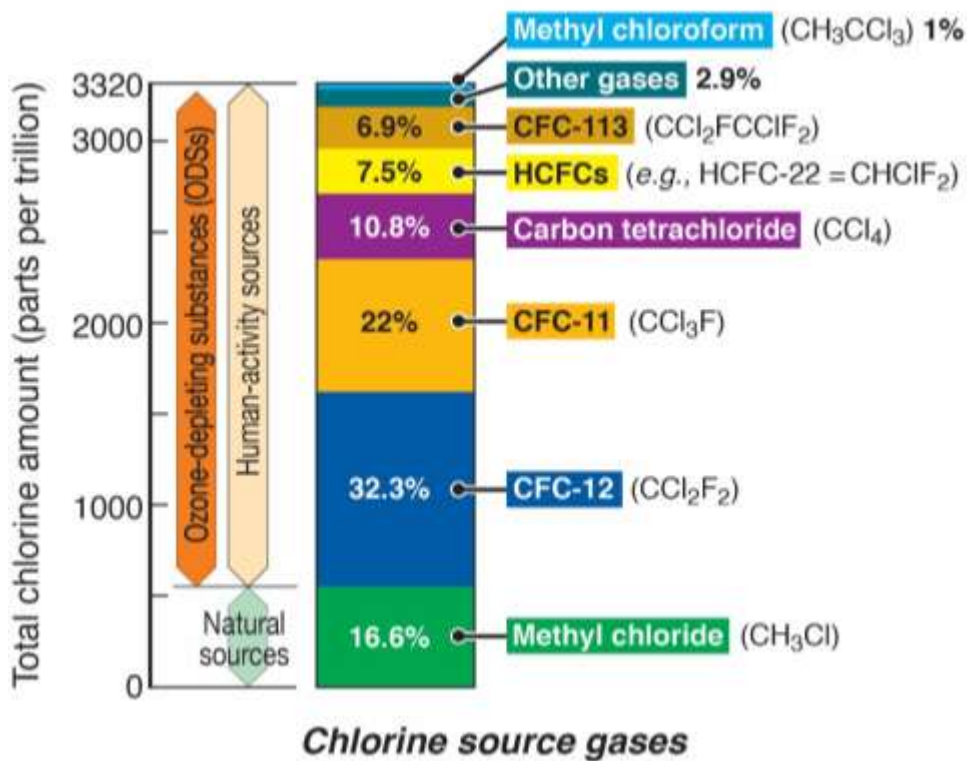
6

Removal

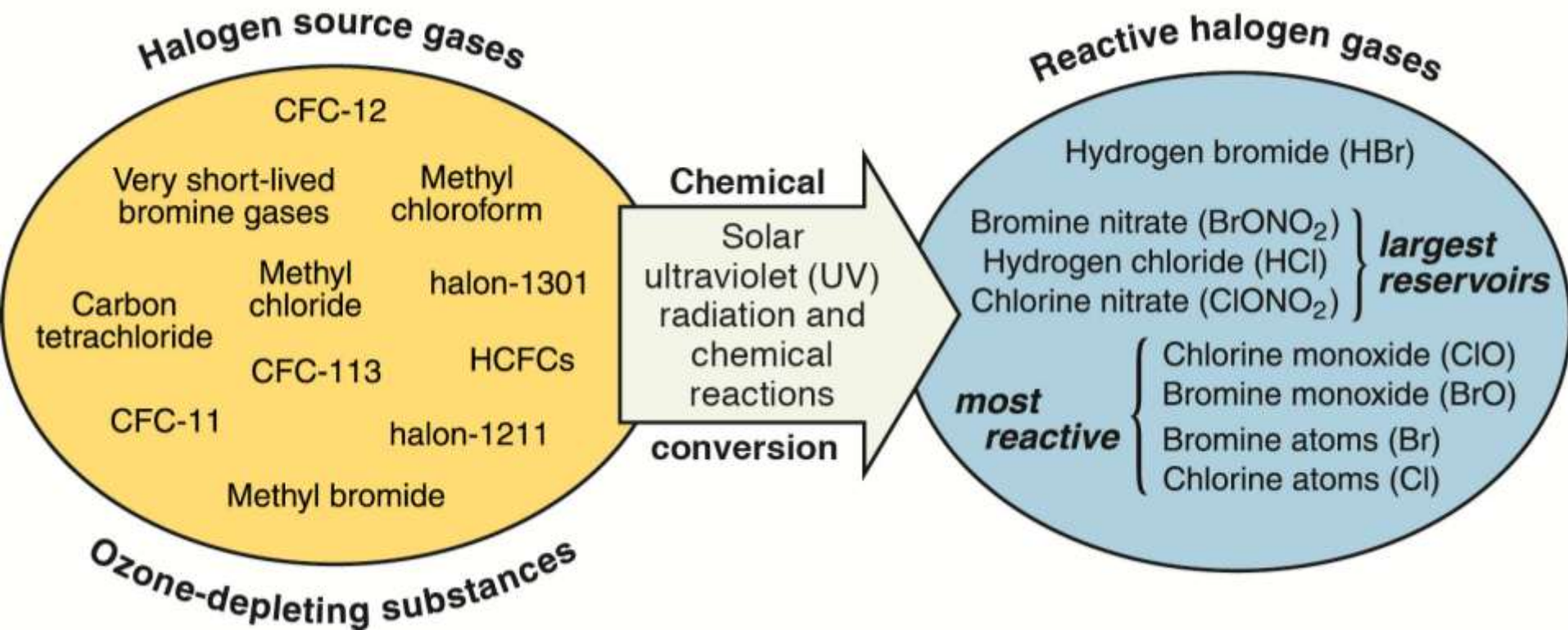
Air containing **reactive halogen gases** returns to the troposphere where the gases are removed by moisture in clouds and rain.

Zdroje halogenidů ve stratosféře

2008



Přípravné reakce

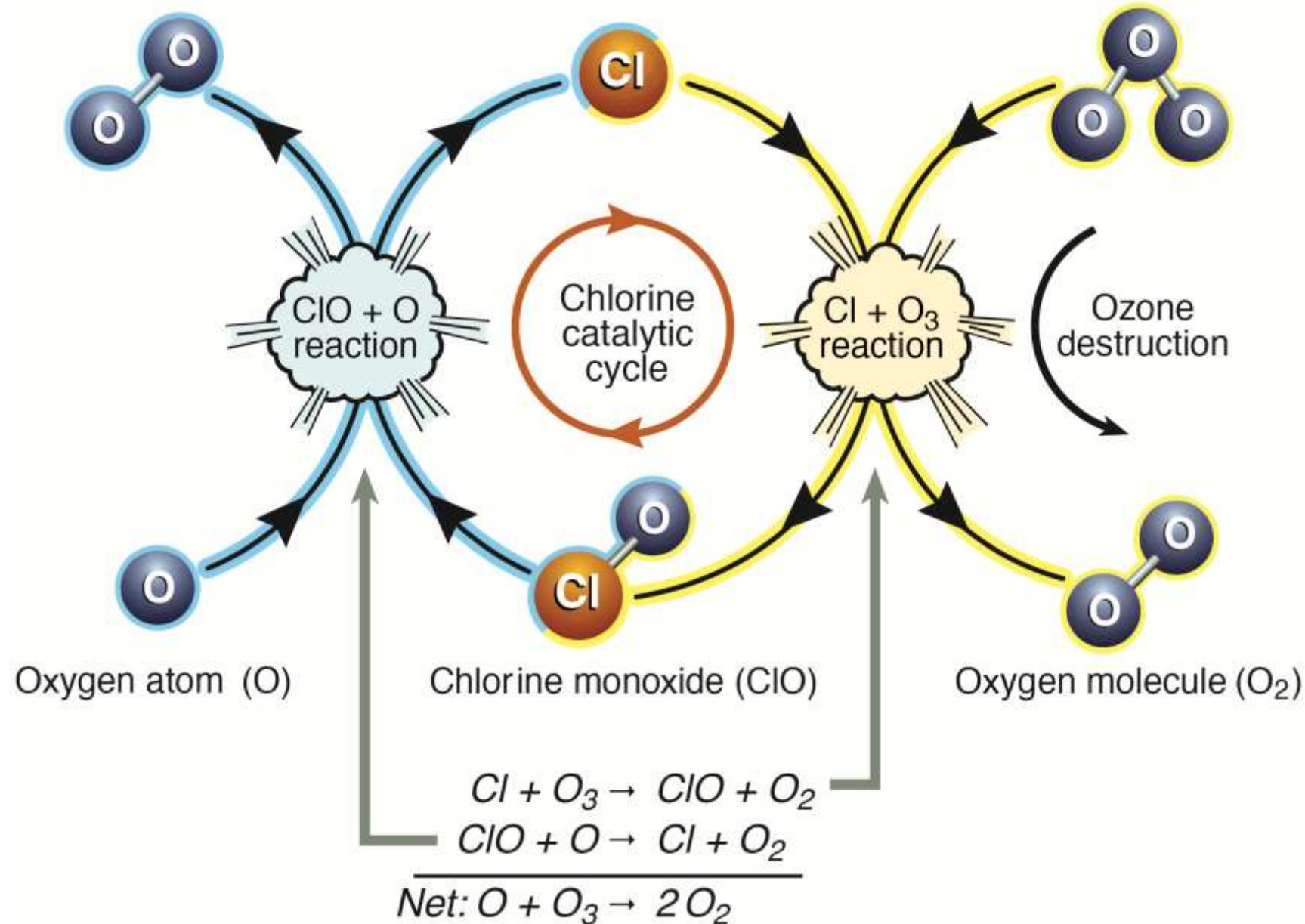


Ozone Destruction Cycle 1

Oxygen molecule (O_2)

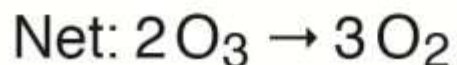
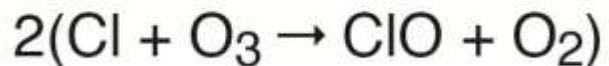
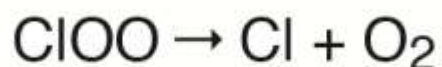
Chlorine atom (Cl)

Ozone (O_3)

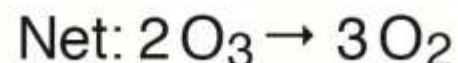
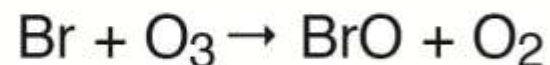
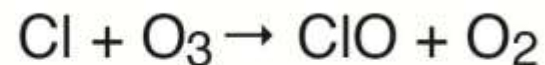
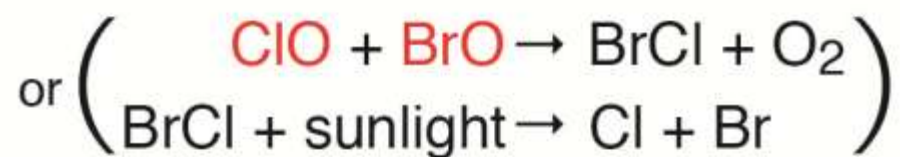
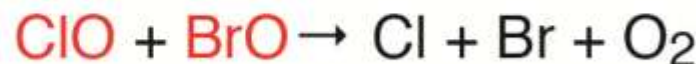


Ozone Destruction Cycles in Polar Regions

Cycle 2

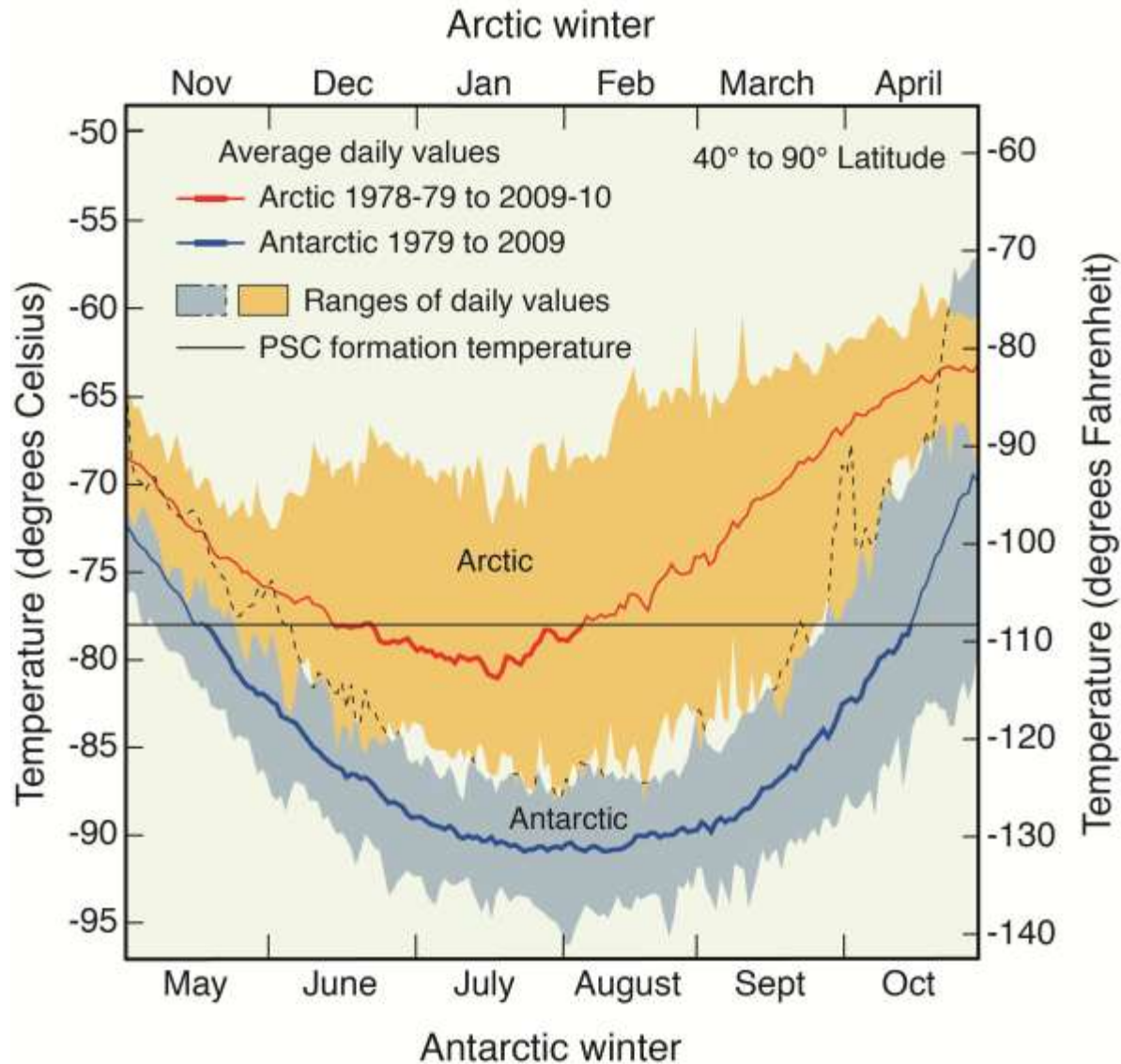


Cycle 3



Úloha teploty

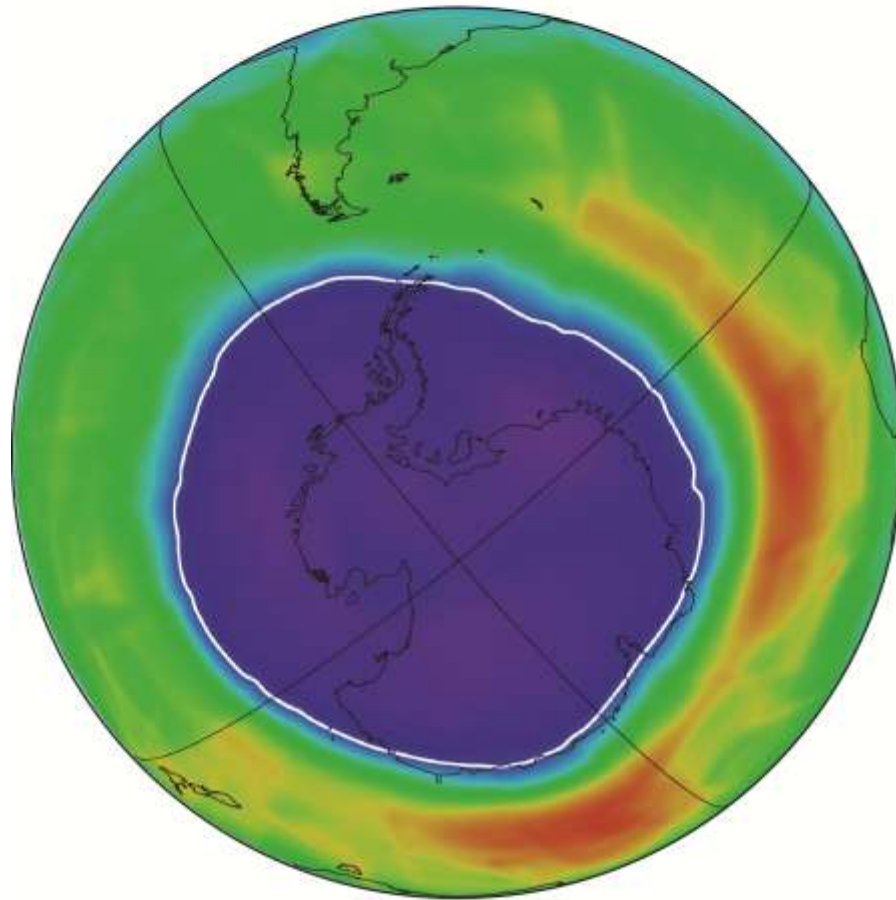
Minimum Air Temperatures in the Polar Stratosphere



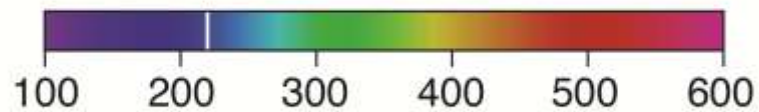
Polární stratosférické oblaky



Antarctic Ozone Hole

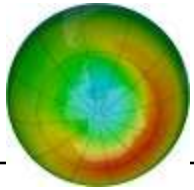


17 September 2009

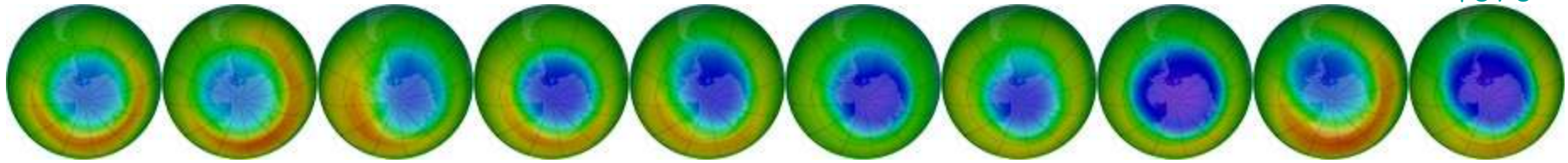


Total ozone (Dobson units)

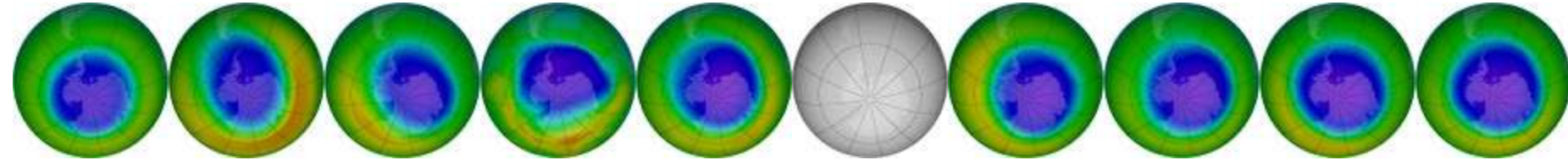
Ozónová díra



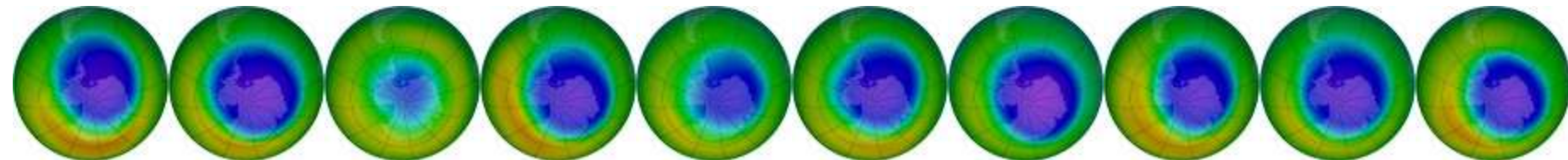
1979



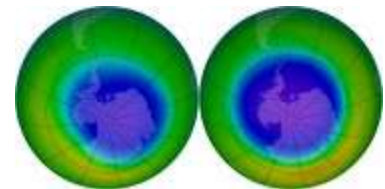
1980 1981 1982 1983 1984 1985 1986 1987 1988 1989



1990 1991 1992 1993 1994 1995 1996 1997 1998 1999

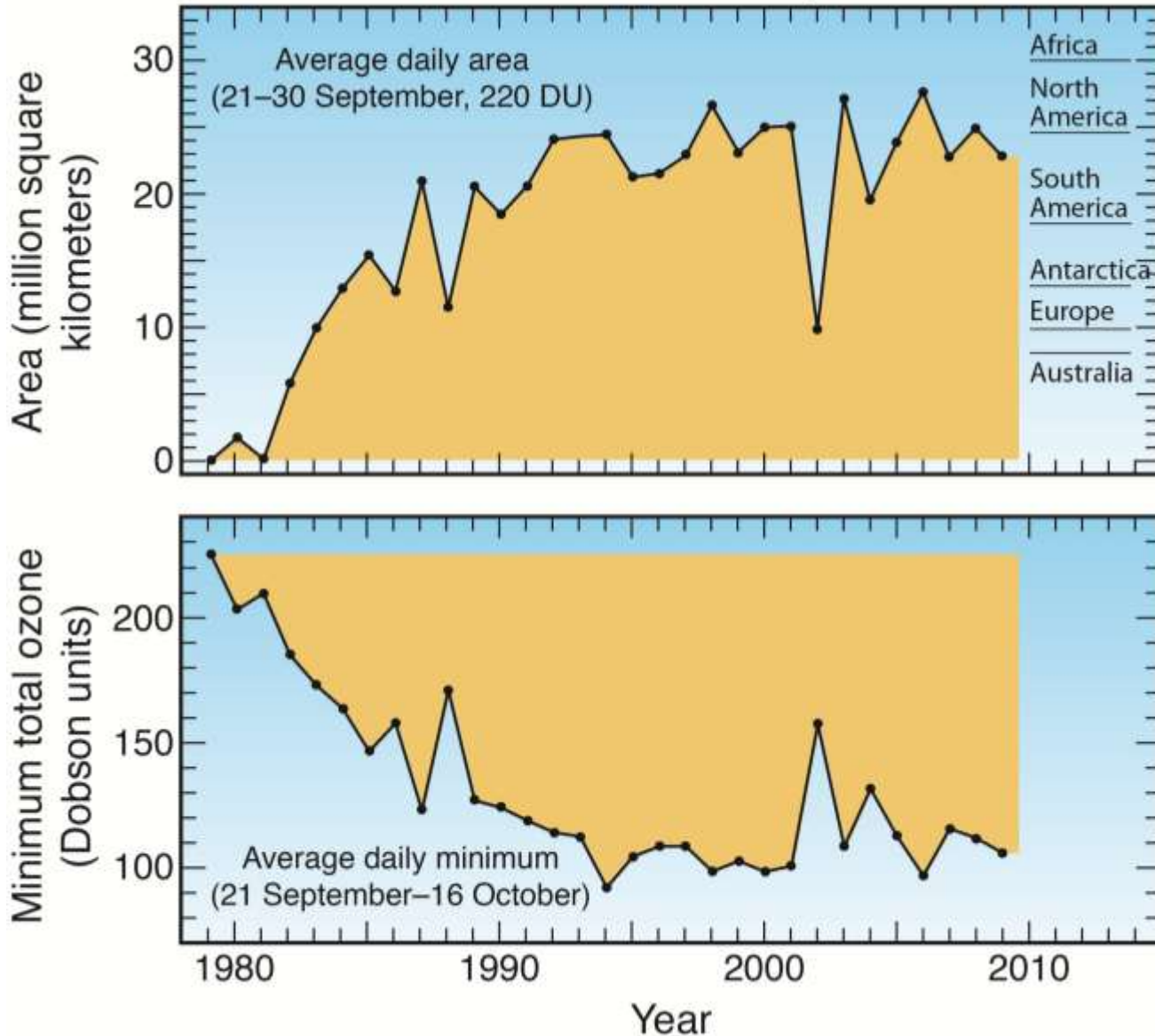


2000 2001 2002 2003 2004 2005 2006 2007 2008 2009

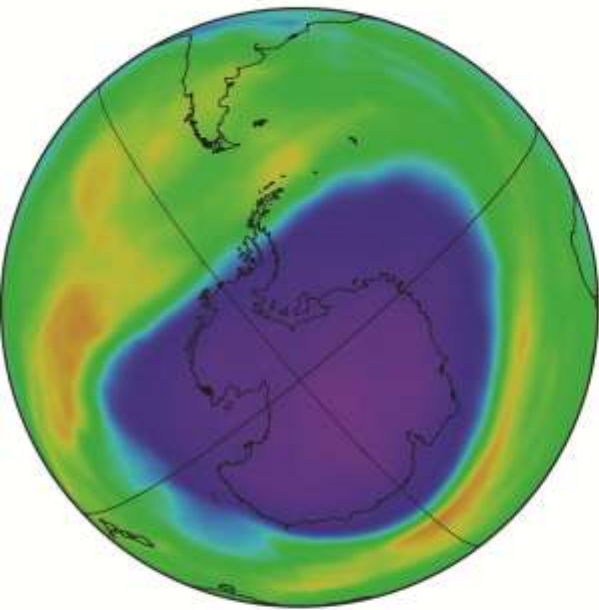


2010 2011

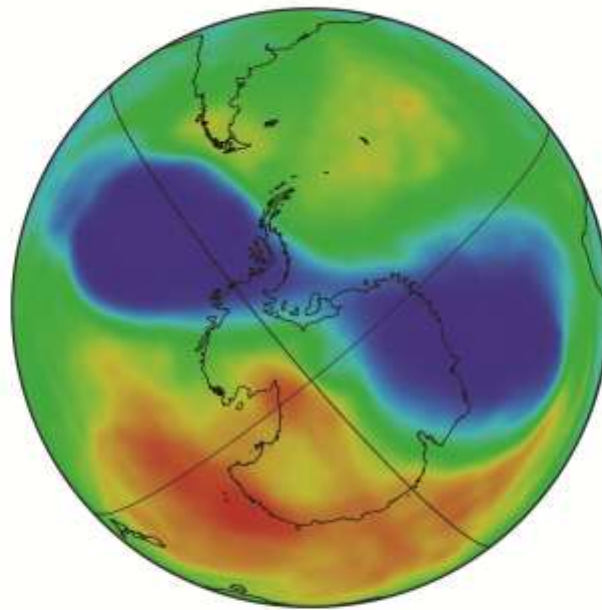
Vývoj úbytku ozónu



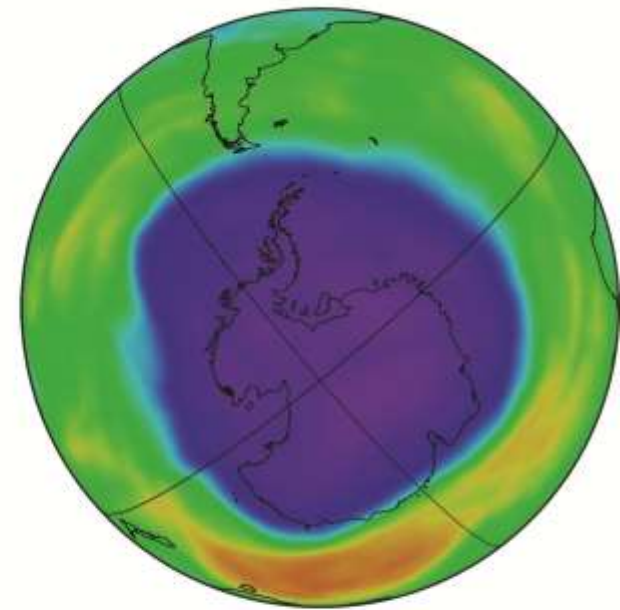
Unusual 2002 Antarctic Ozone Hole



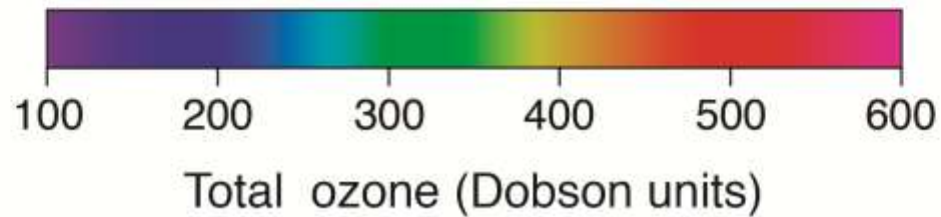
24 September 2001



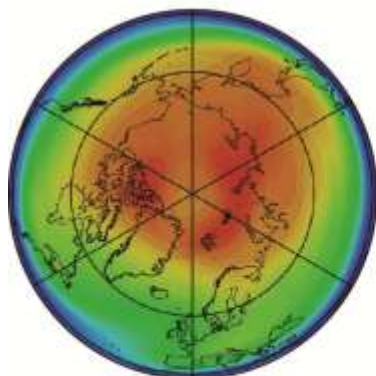
24 September 2002



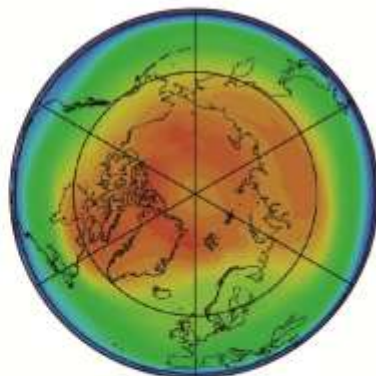
24 September 2003



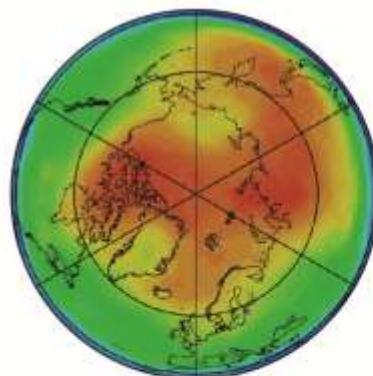
Celkový ozón v Arktidě



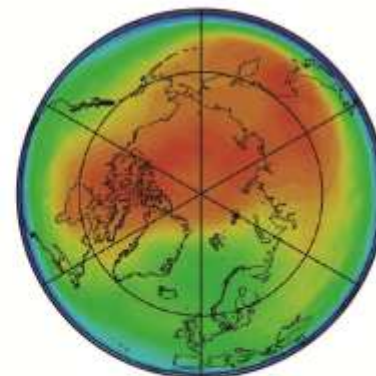
1971



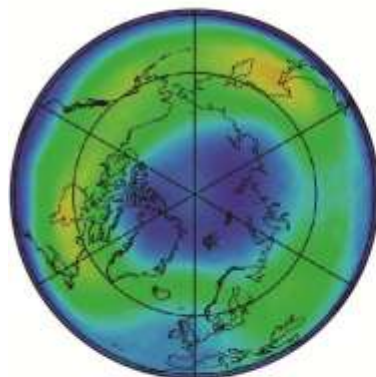
1972



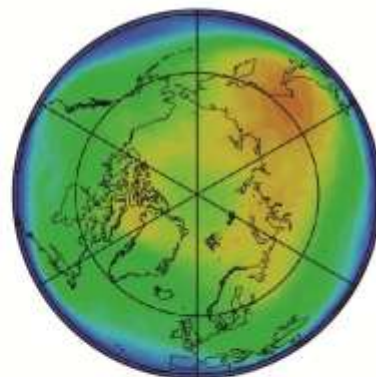
1979



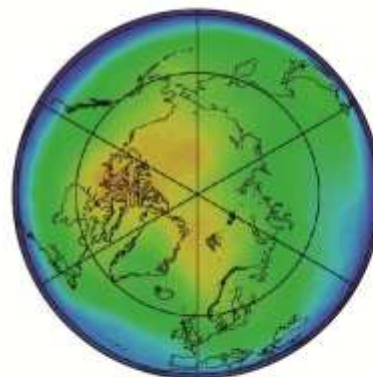
1980



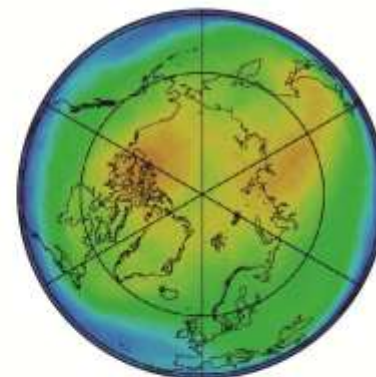
1997



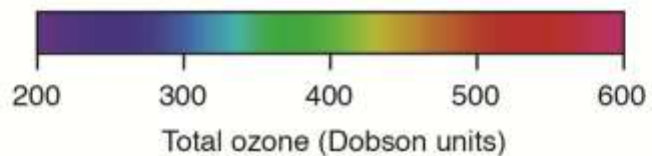
2006



2008

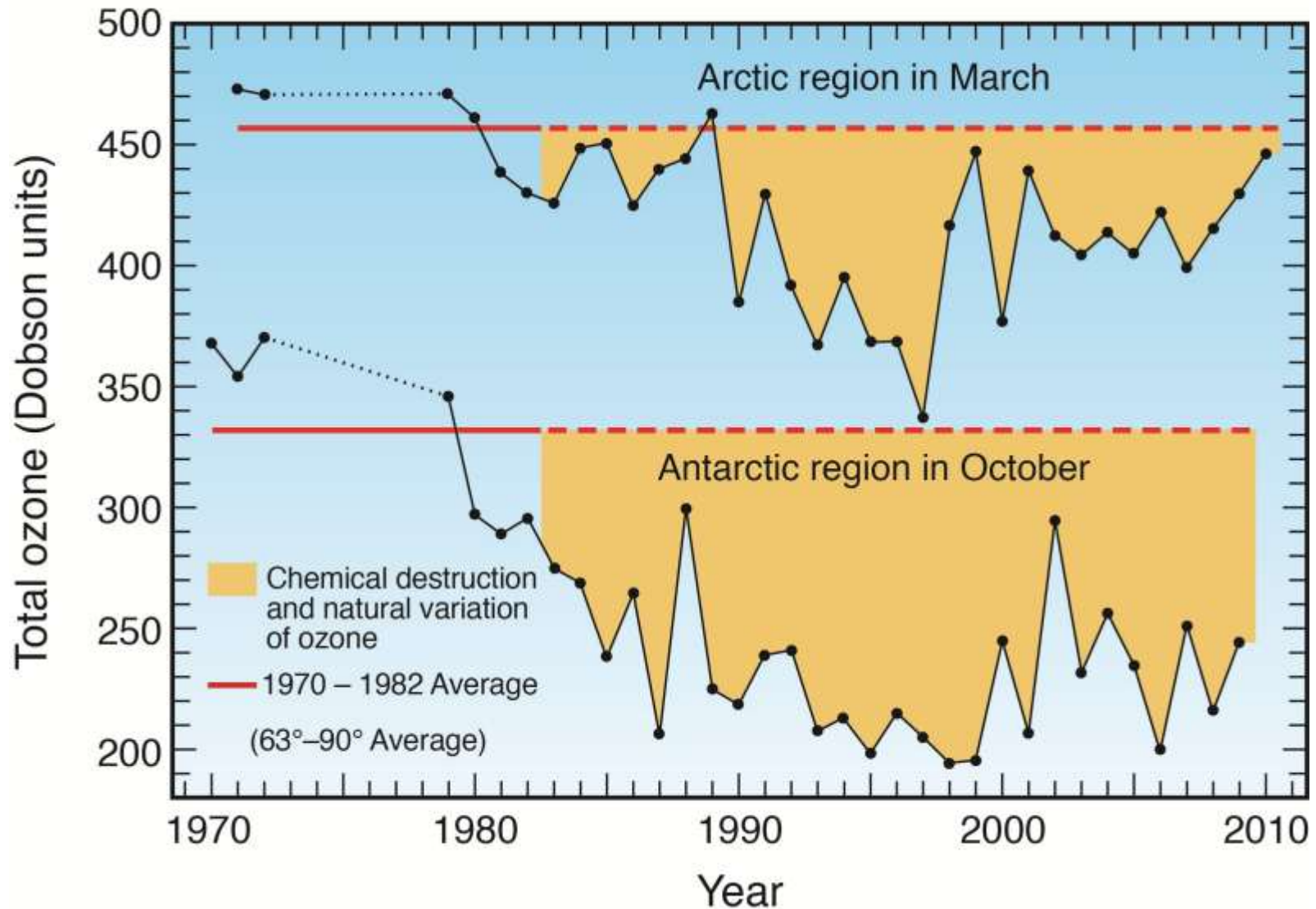


2009



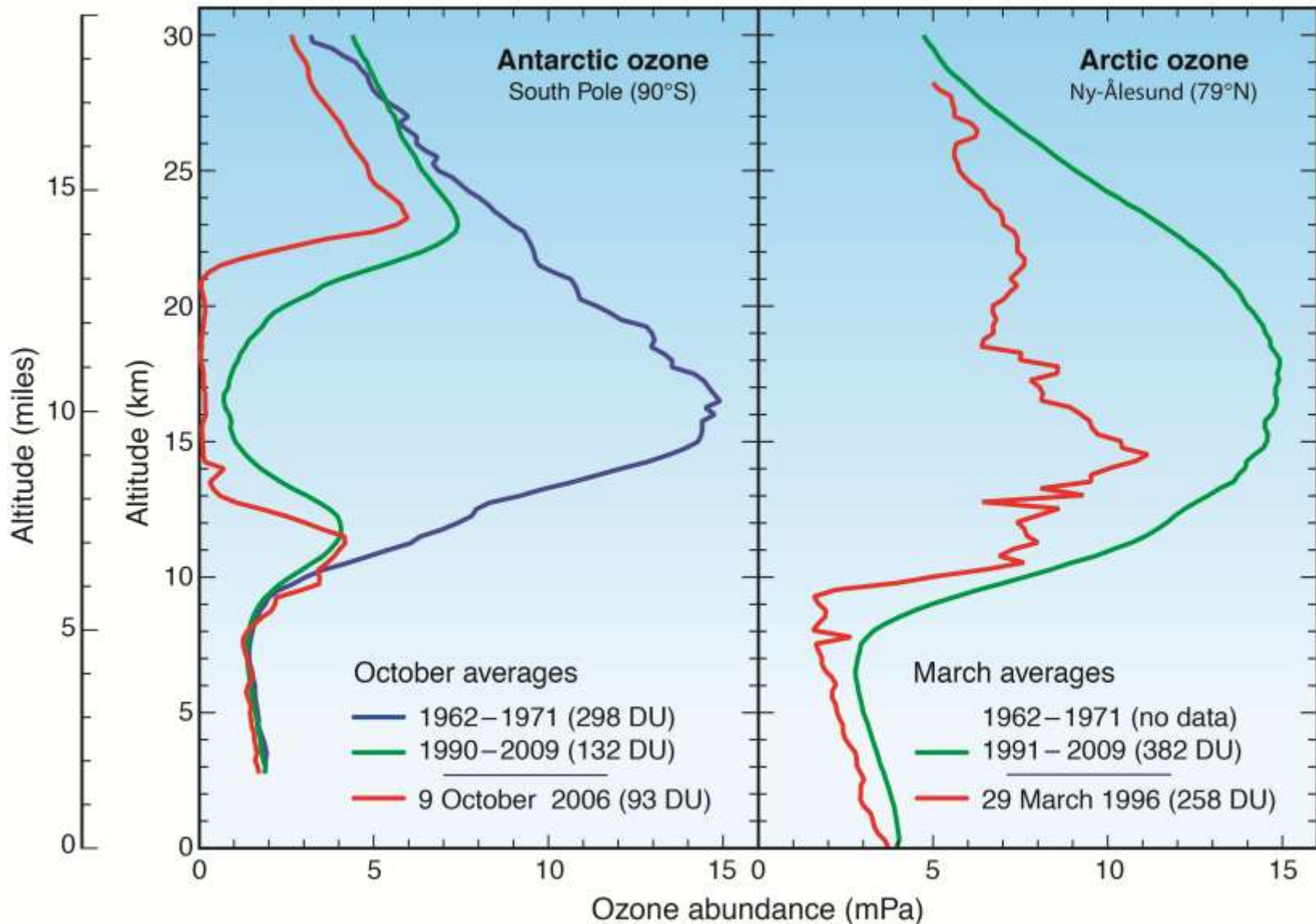
Porovnání polárních oblastí

Average Total Ozone in Polar Regions



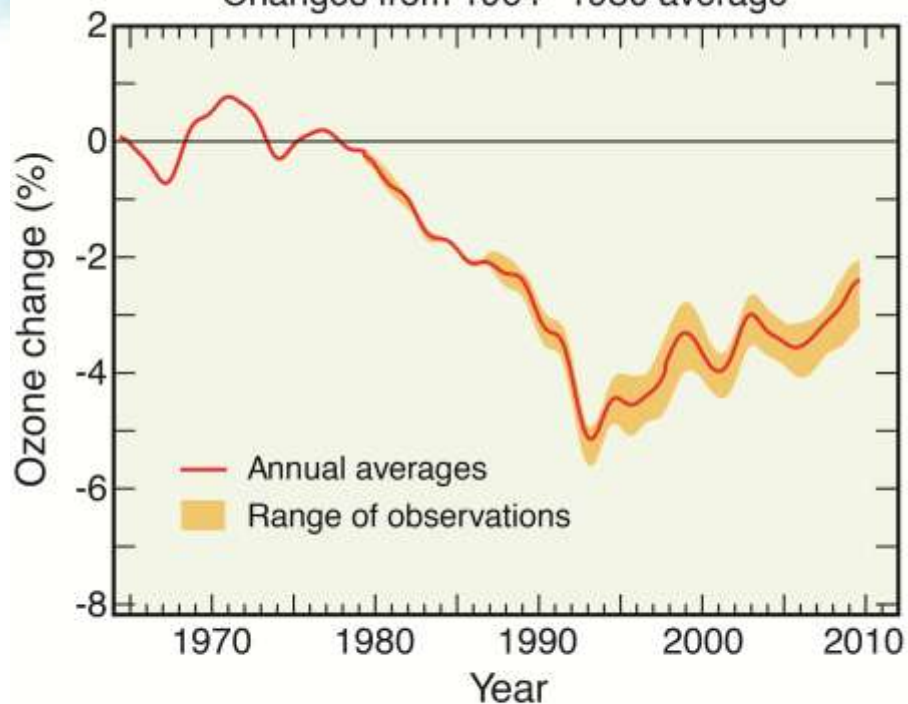
Porovnání polárních oblastí

Polar Ozone Depletion

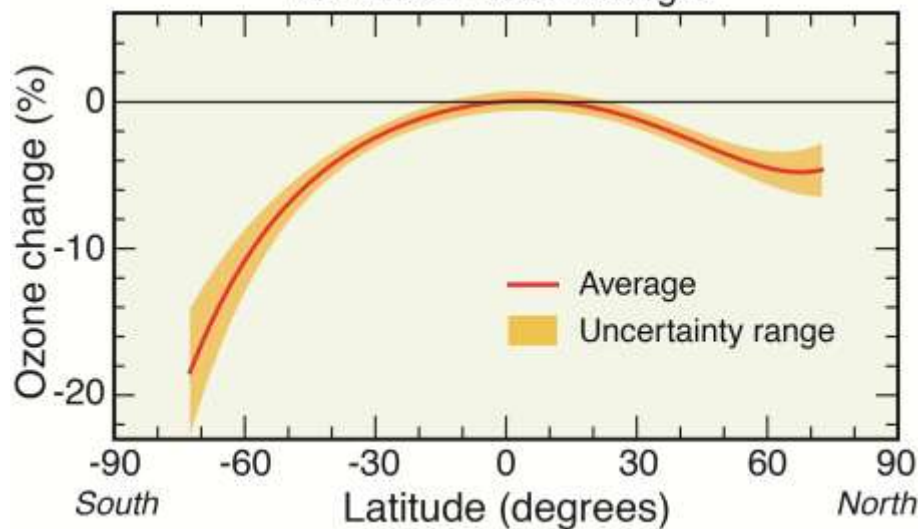


Global Total Ozone Changes

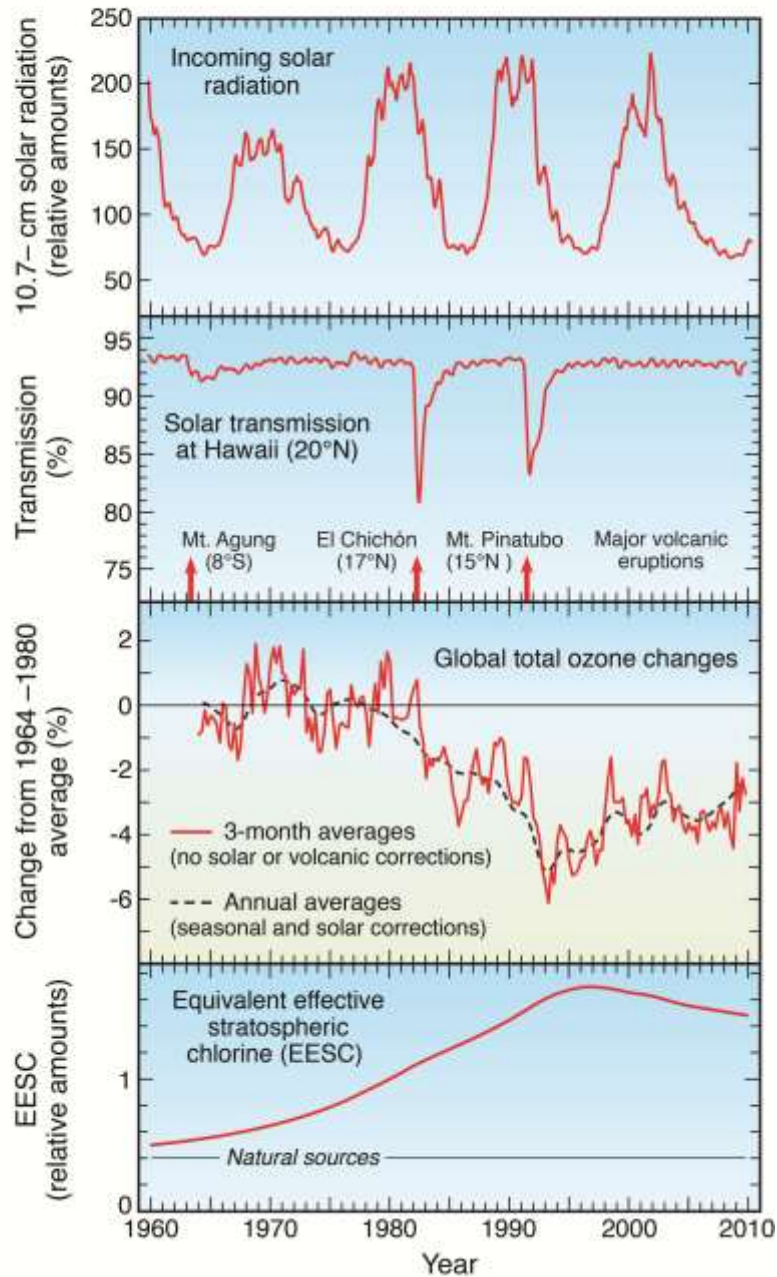
Changes from 1964–1980 average



Changes between 1964–1980
and 2005–2009 averages

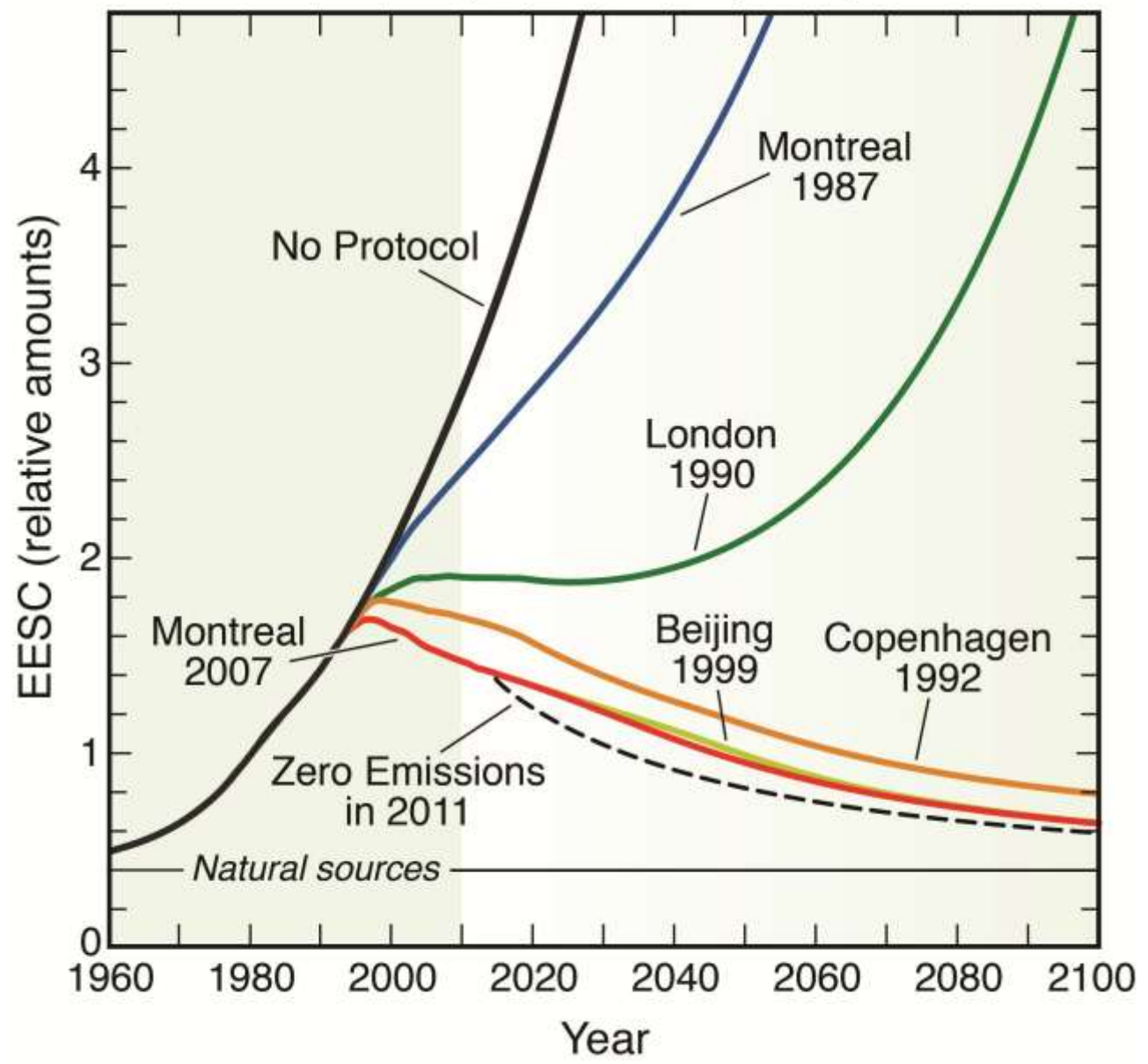


The Solar Cycle, Volcanic Eruptions, Global Ozone, and Equivalent Effective Stratospheric Chlorine



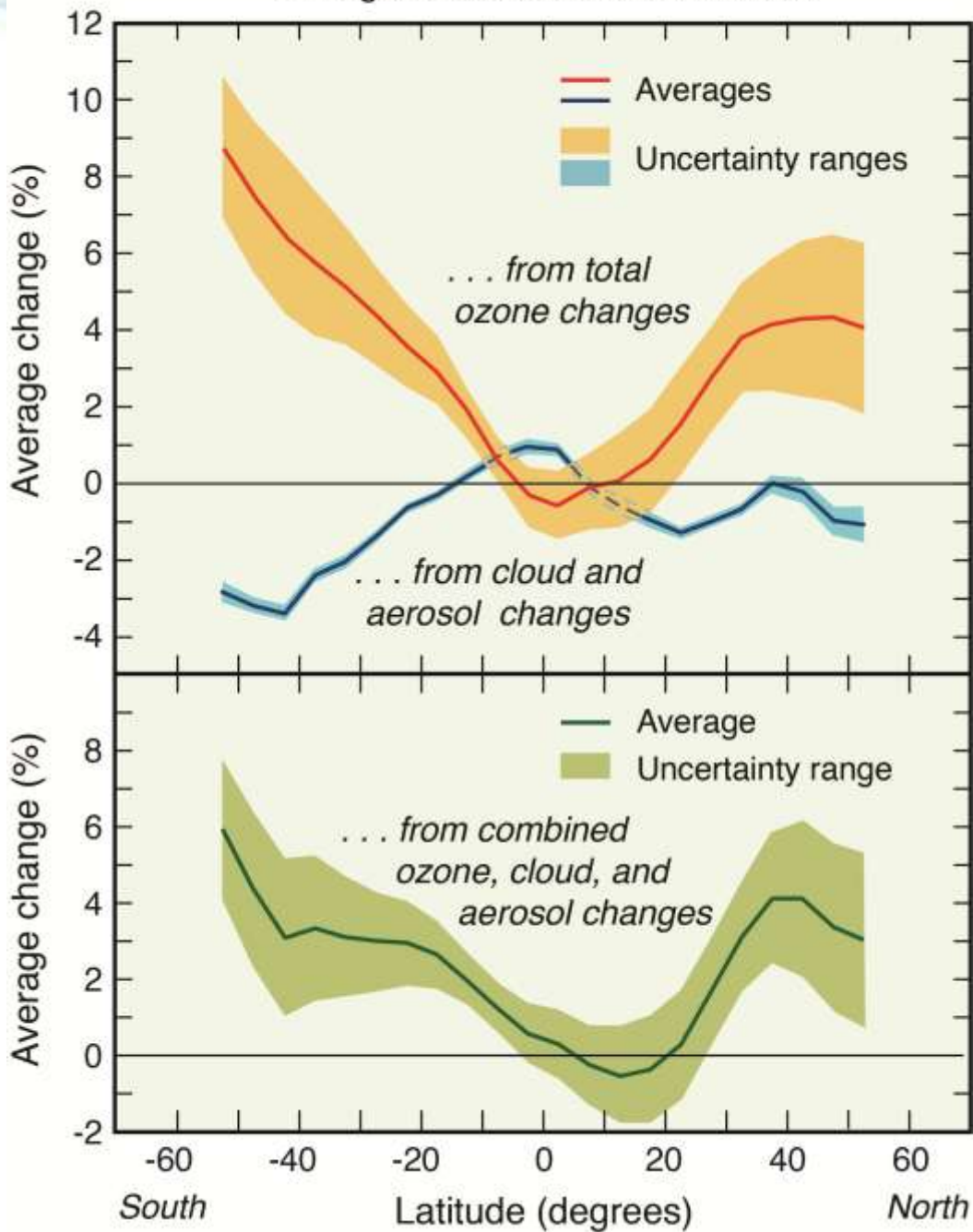
Effect of the Montreal Protocol

Long-term changes in equivalent effective stratospheric chlorine (EESC)

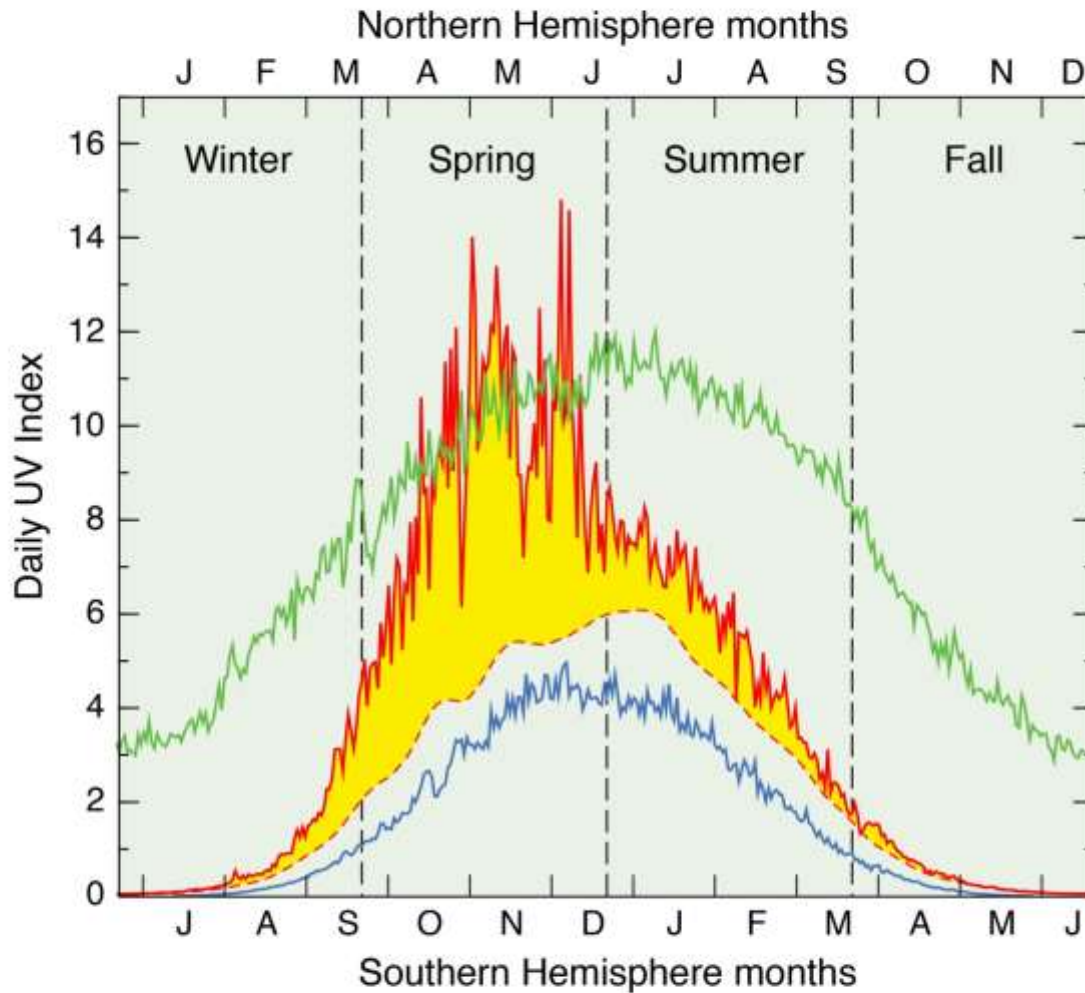


Changes in Surface Erythemal UV Radiation

Changes between 1979 and 2008



Seasonal Changes in the UV Index



Long-term averages of the UV Index

Palmer, Antarctica (64°S)

— 1990–2006

- - - 1978–1980
(pre-ozone-hole)

San Diego, California (32°N)

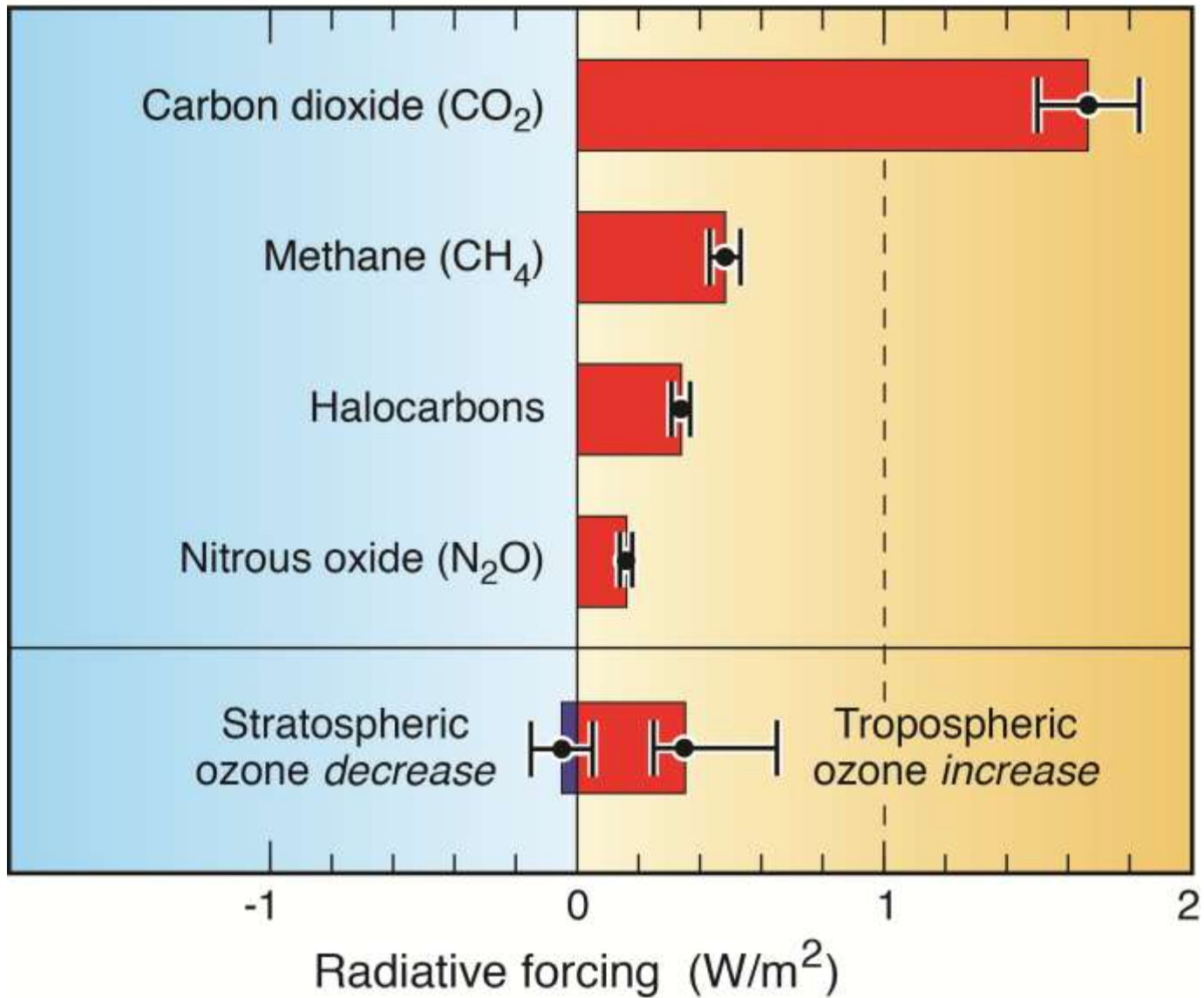
— 1992–2006

Barrow, Alaska (71°N)

— 1991–2007

Radiative Forcing of Climate Change

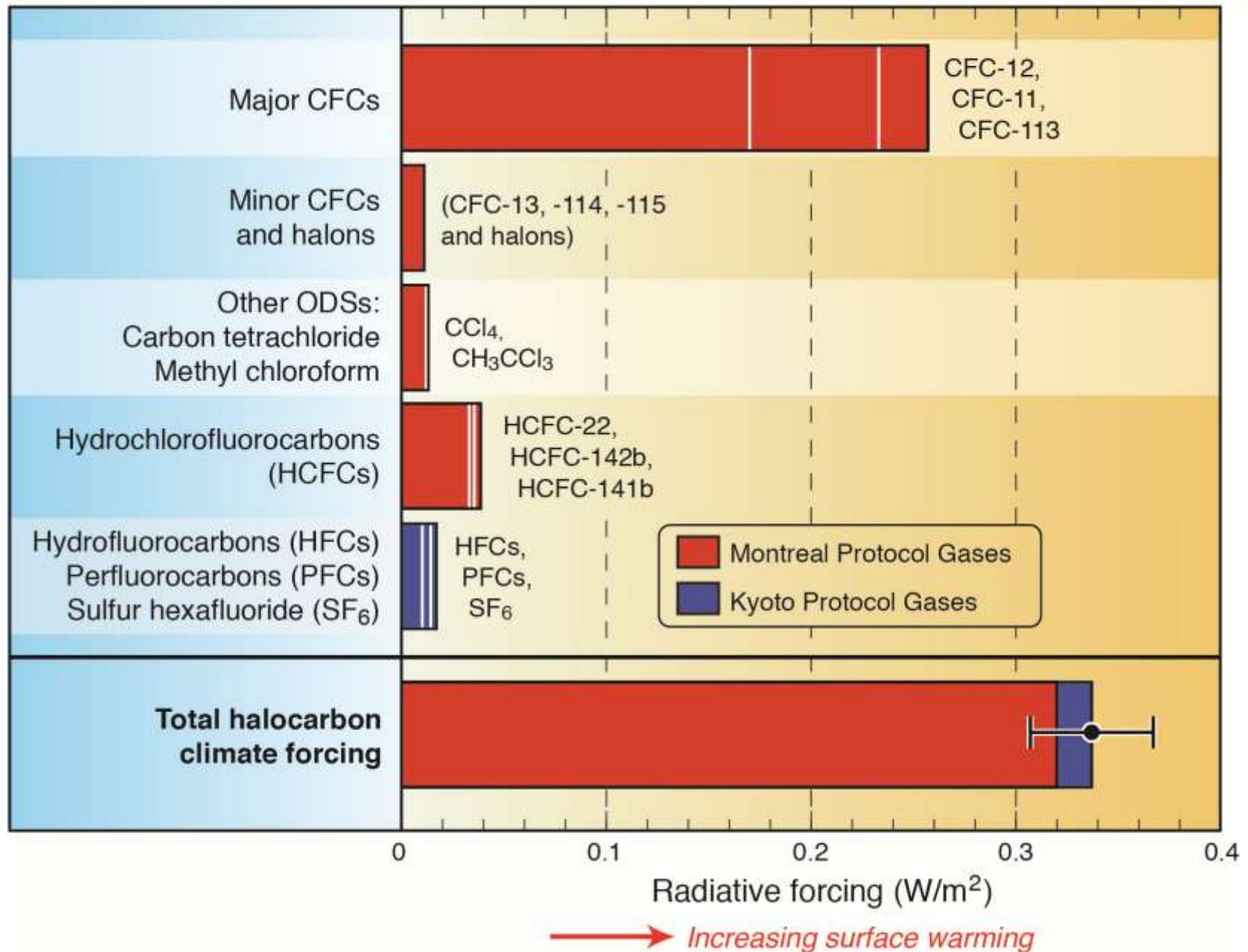
From changes in greenhouse gases caused by human activities between 1750 and 2005



Surface cooling ← → Surface warming

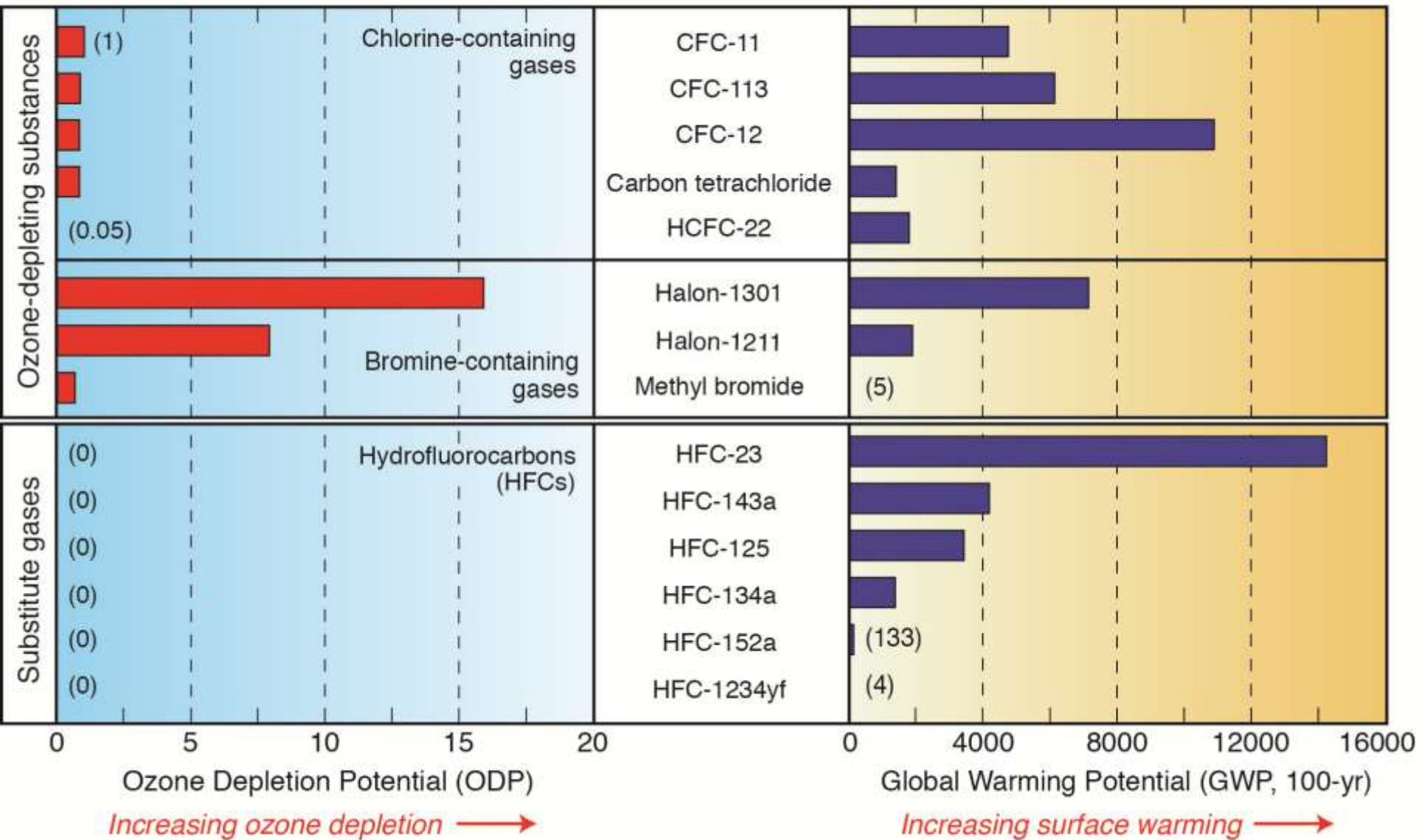
Radiative Forcing of Climate by Halocarbons in 2005

From increases in all controlled gases containing chlorine, bromine, and fluorine from human activities between 1750 and 2005



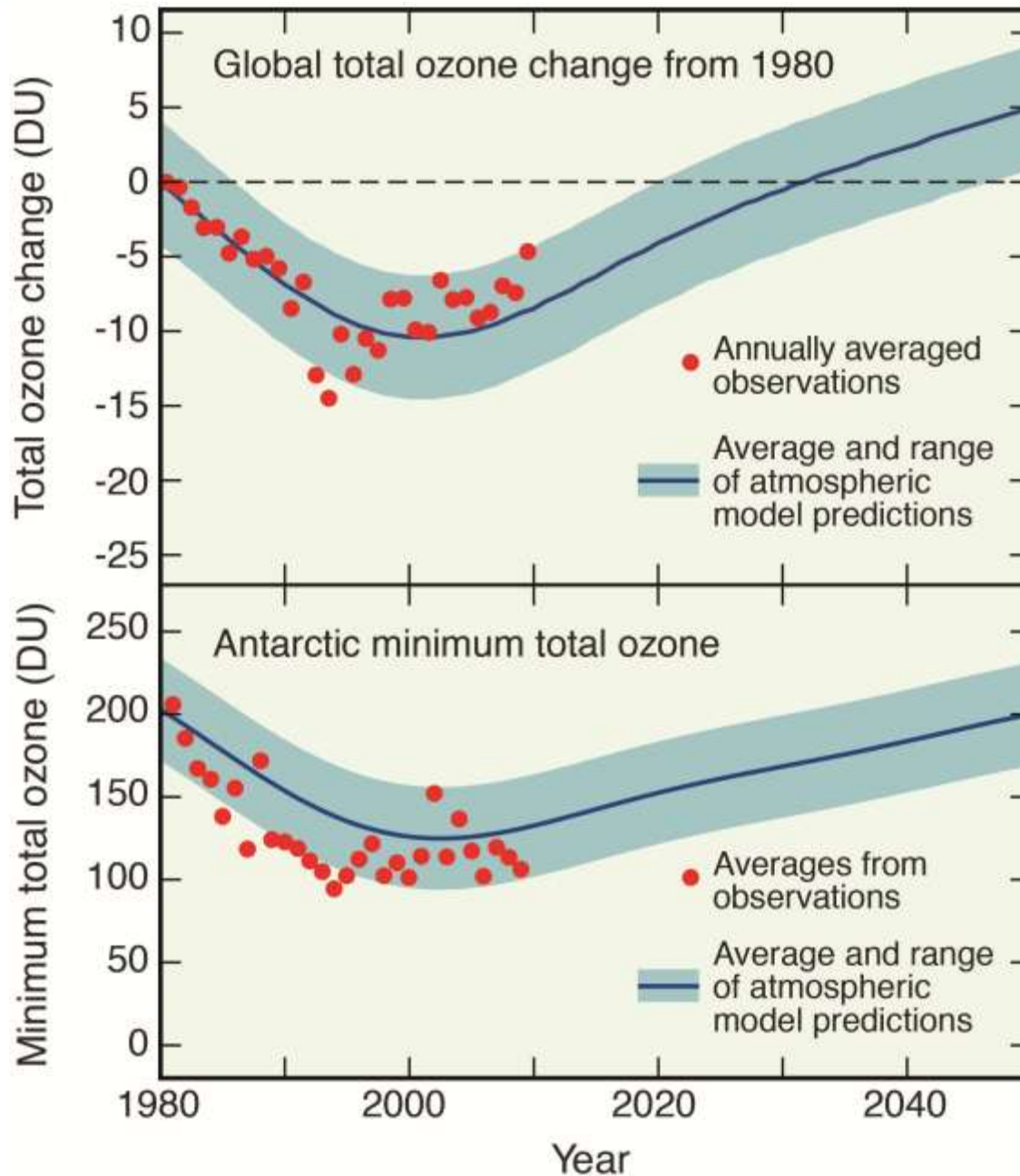
Evaluation of Selected Ozone-Depleting Substances and Substitute Gases

Relative importance of equal mass emissions for ozone depletion and climate change



Simulations of Stratospheric Ozone Depletion

Results from chemistry-climate models

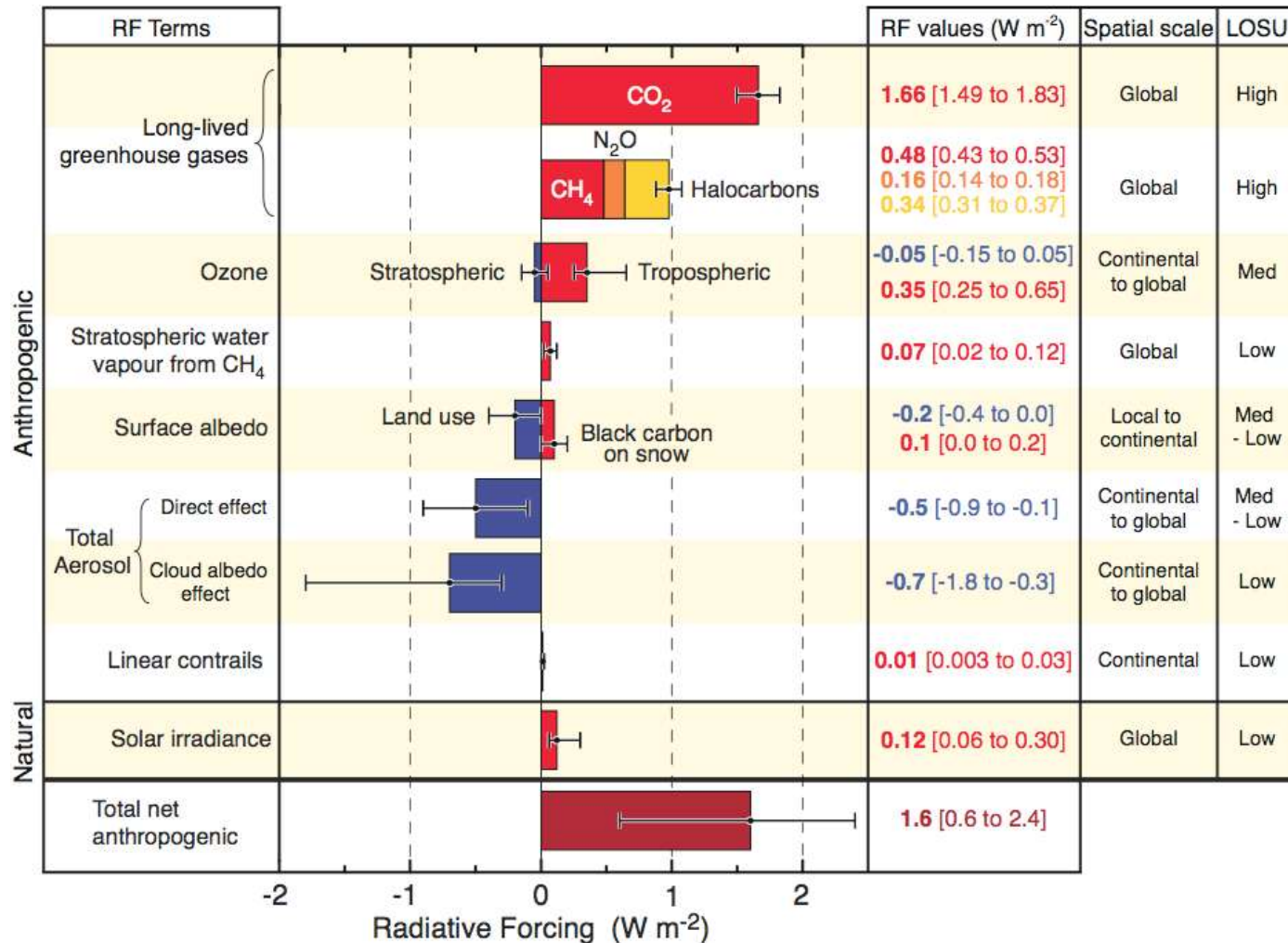


Obsah

- Složení zemské atmosféry
- Kvalita ovzduší
- Ozónová díra
- **Klimatická změna**

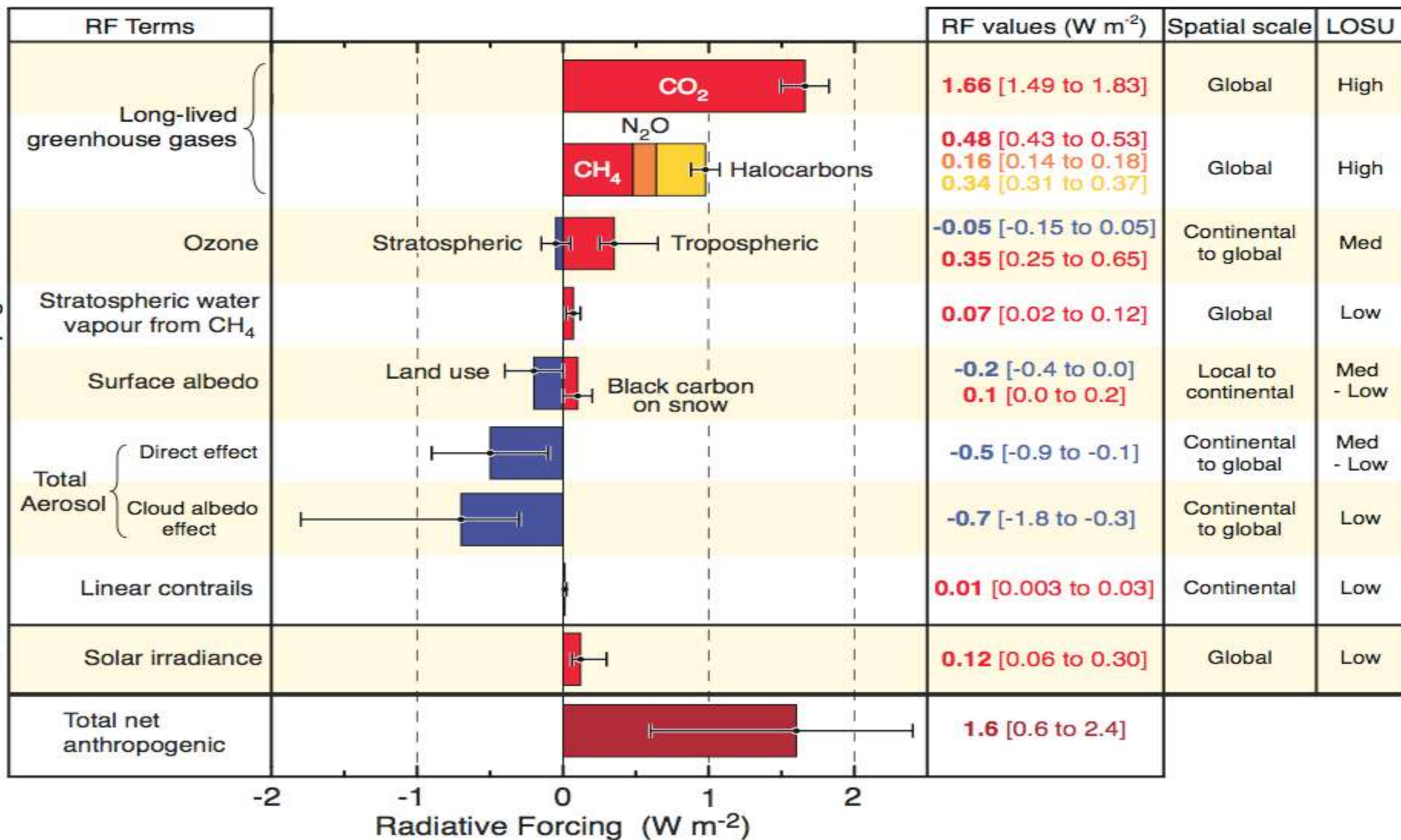
Radiační působení

Radiative Forcing Components

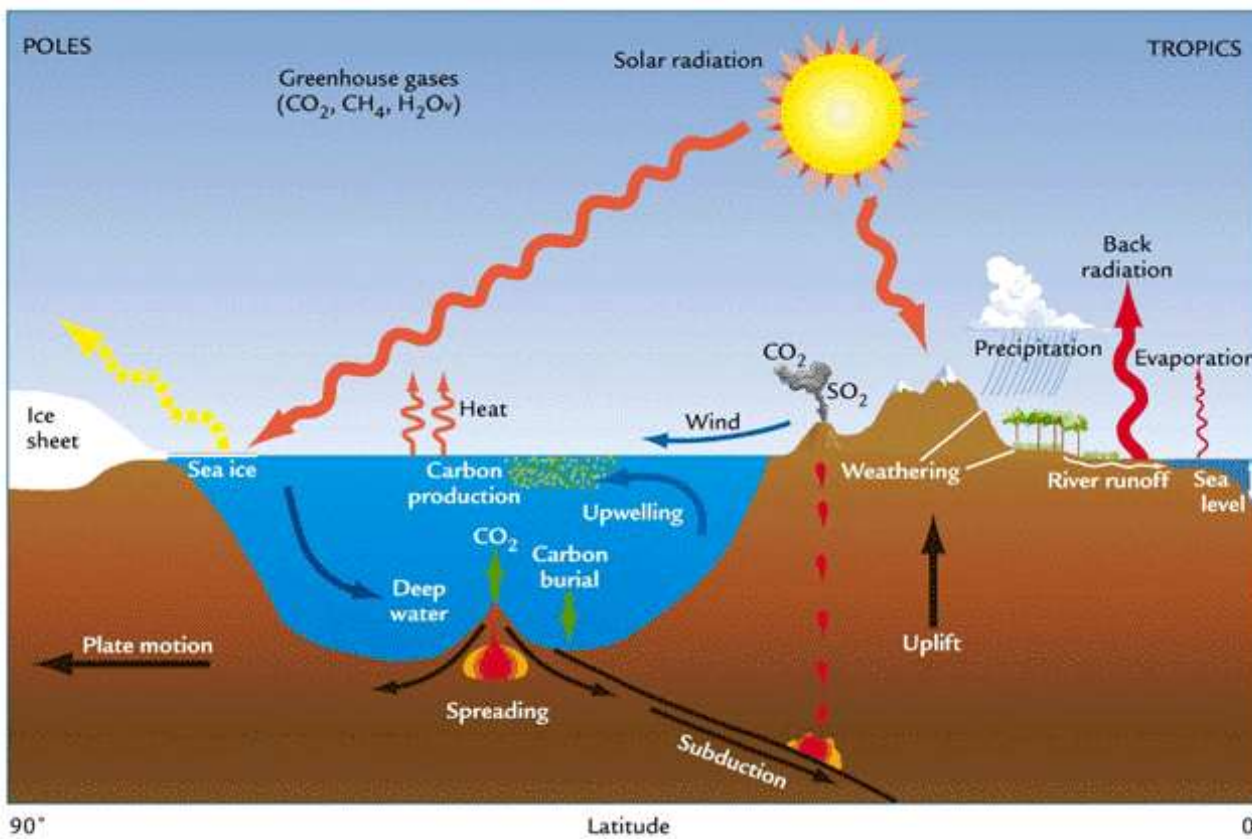


Radiative forcing estimates and ranges

Radiative Forcing Components



Klimatický systém



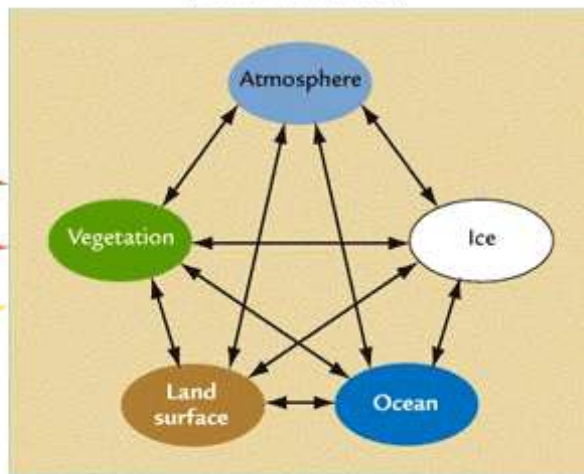
CAUSES
(external forcing)

Changes in
plate tectonics

Changes in
Earth's orbit

Changes in
Sun's strength

CLIMATE SYSTEM
(internal interactions)



CLIMATE VARIATIONS
(internal responses)

Changes in
Atmosphere

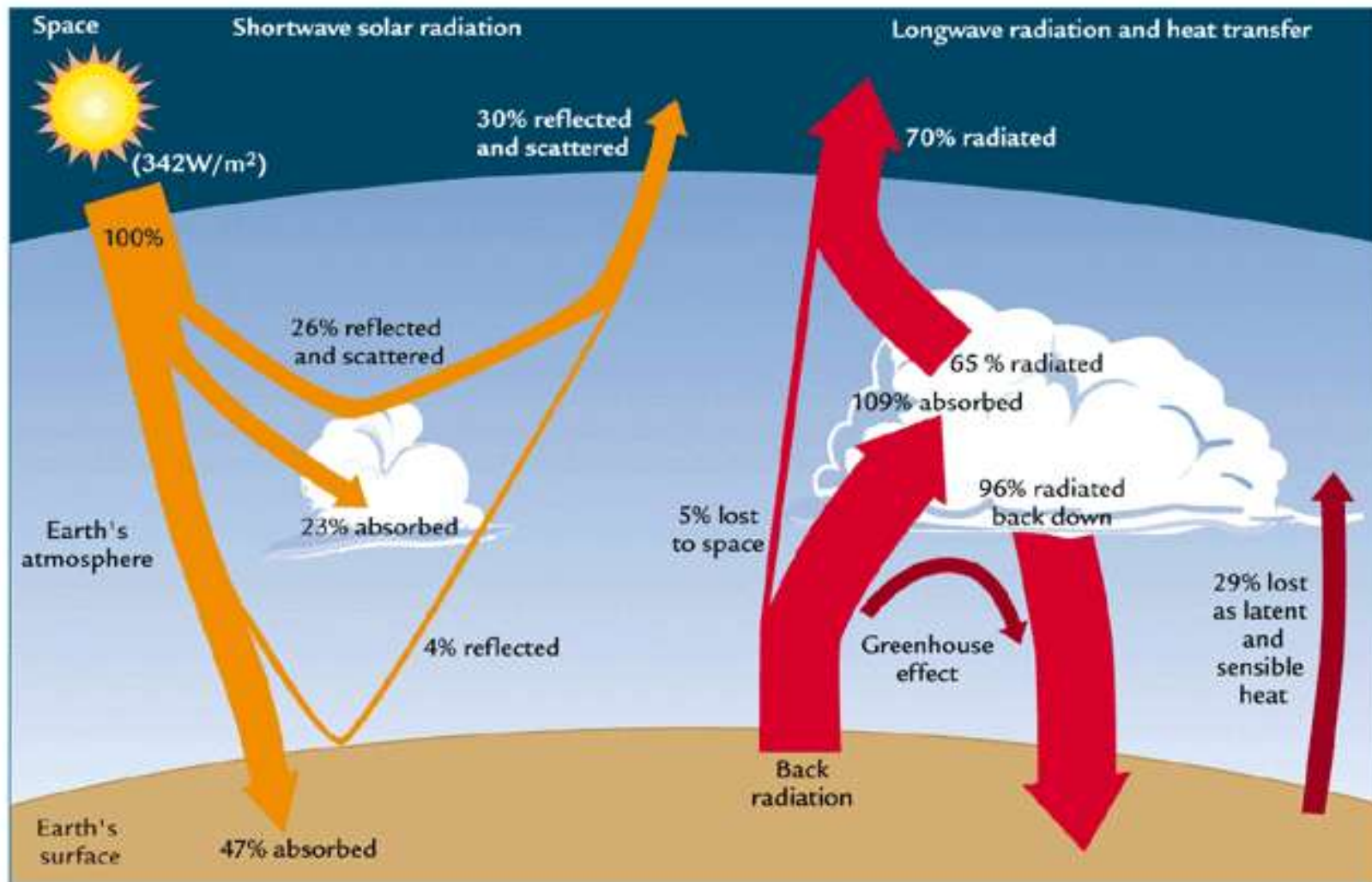
Changes in
Ice

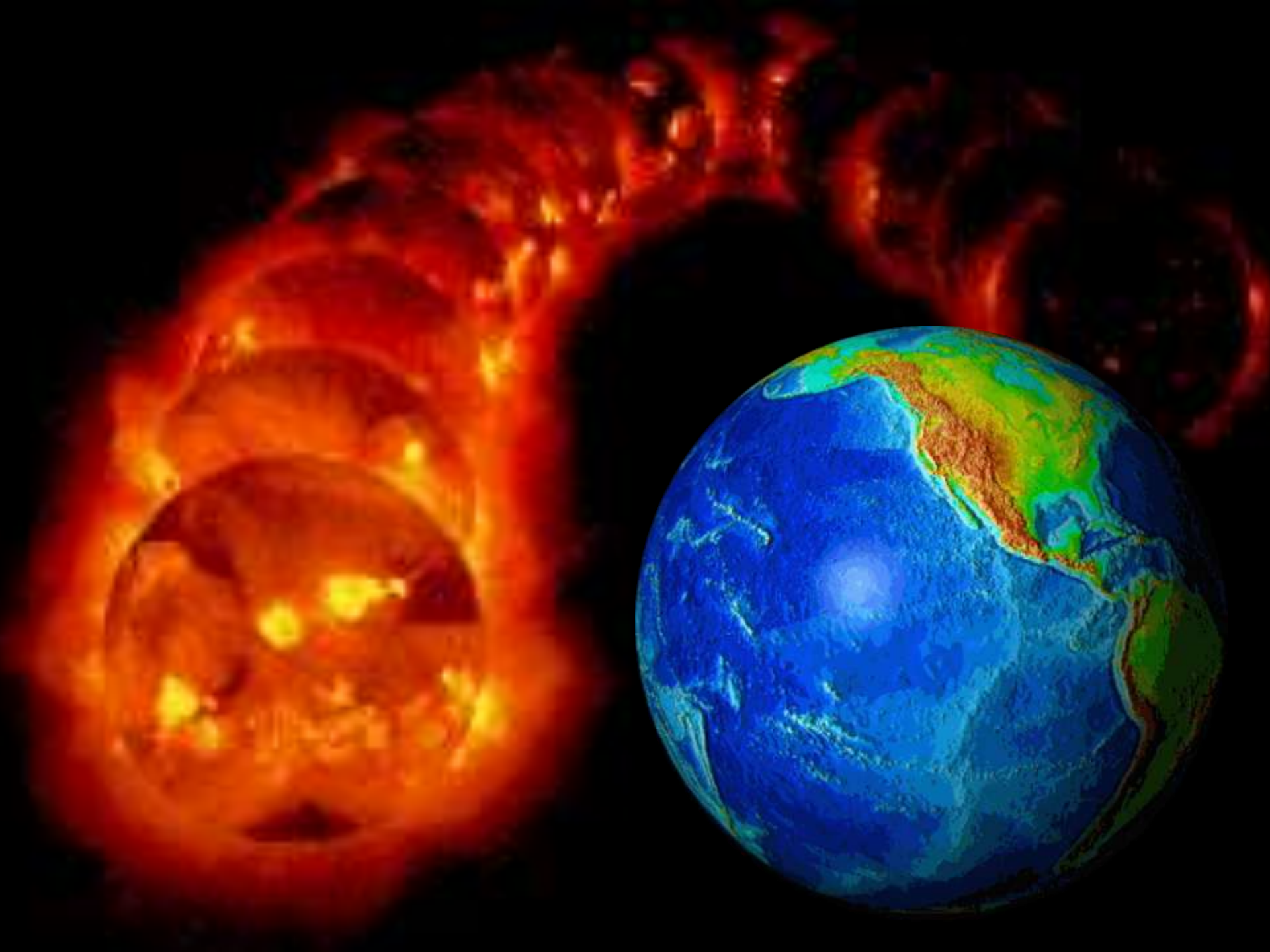
Changes in
vegetation

Changes in
Ocean

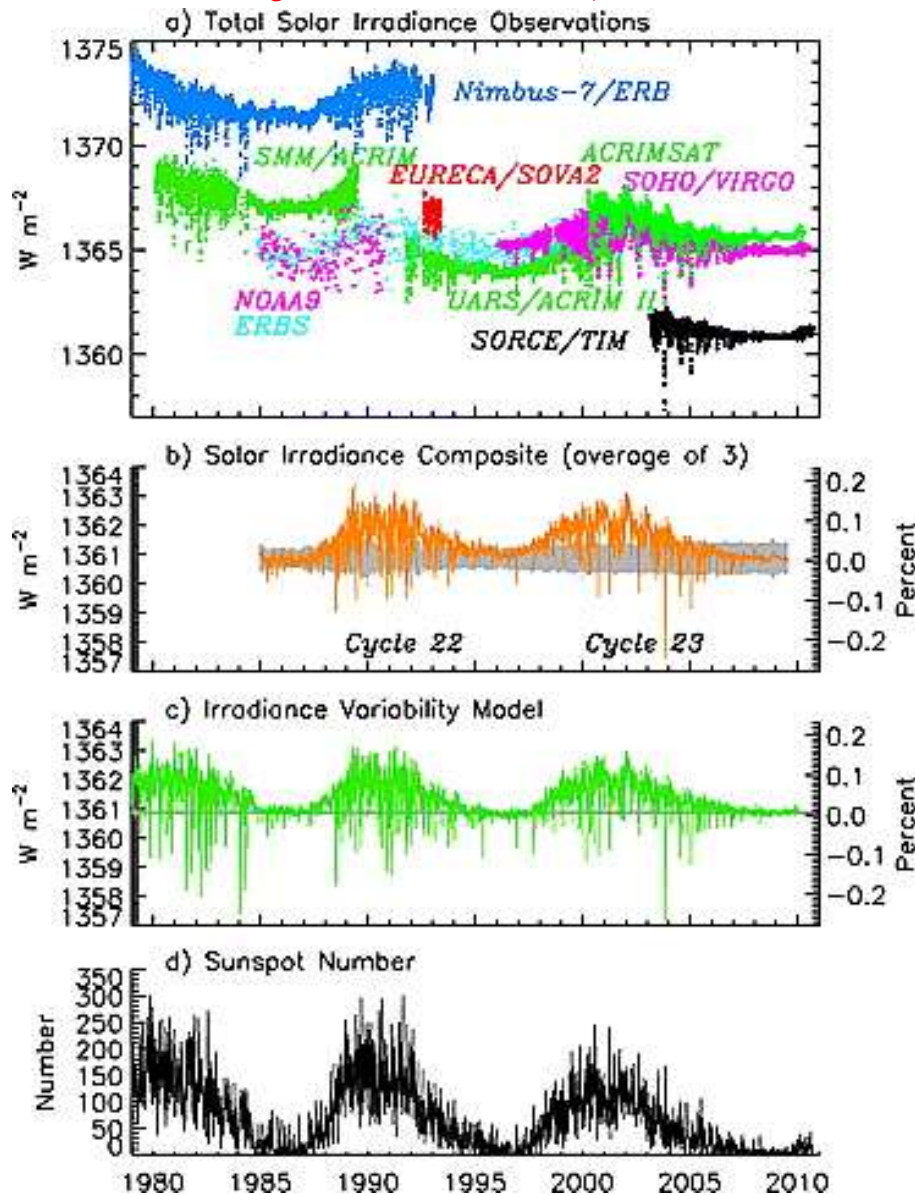
Changes in
land surface

Energetická bilance v klimatickém systému



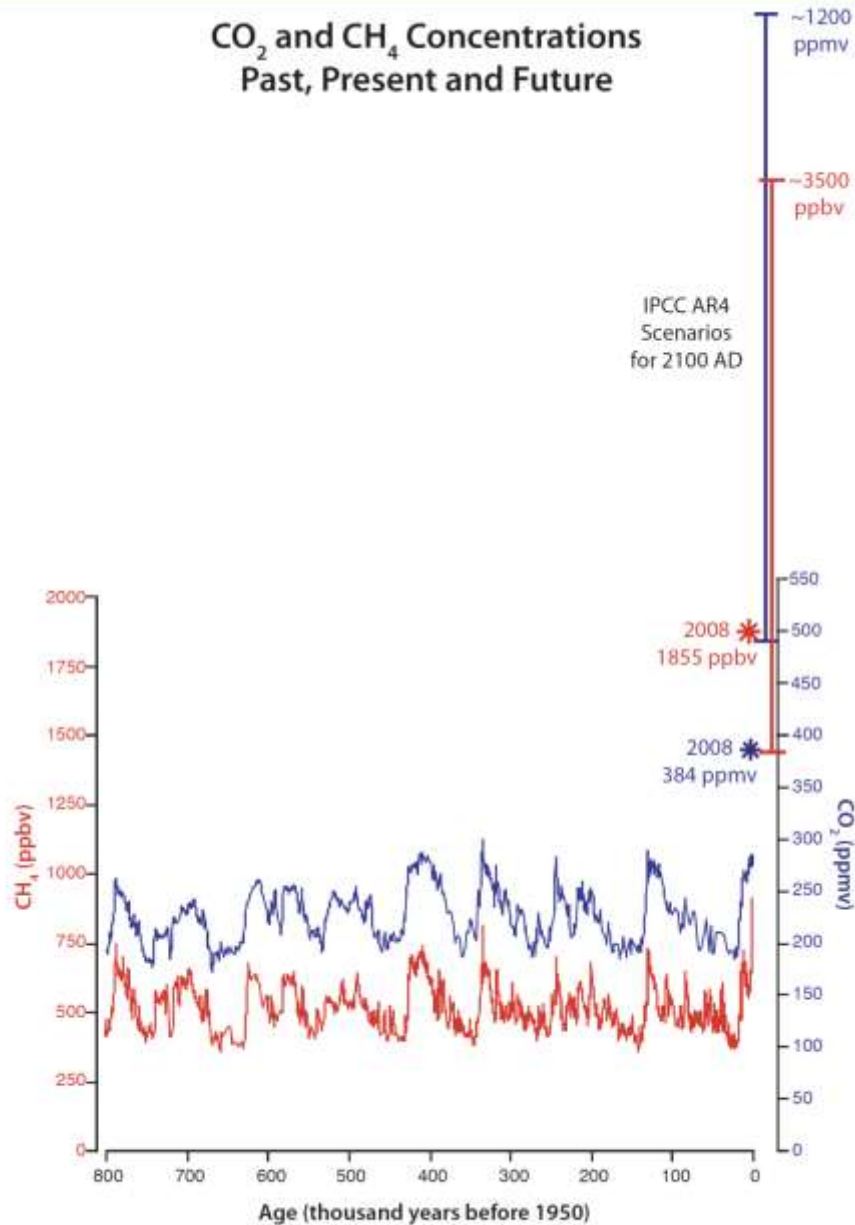


Změny TSI (total solar irradiance)



změny TSI během 11-letého slunečního cyklu 0.1–0.2% působí klimatický „forcing“ přibližně $0.1 W m^{-2}$ – srovnatelné s trendy působení GHG, ale periodické, navíc značně šířkově závislé

CO₂ and CH₄ Concentrations Past, Present and Future



IPCC AR4
Scenarios
for 2100 AD

Může za to člověk?



Trocha teorie nikoho nezabije

Základní rovnice

Newtonův 2. pohybový zákon pro jednotkovou hmotu v systému spojeném s rotující Zemí

$$d\mathbf{V}/dt = -2\boldsymbol{\Omega} \times \mathbf{V} - \alpha \nabla p + \mathbf{g} + \mathbf{F}$$

Stavová rovnice pro suchý vzduch

$$p\alpha = RT$$

1. věta termodynamická

$$Q = c_v \frac{dT}{dt} + p \frac{d\alpha}{dt} = c_p \frac{dT}{dt} - \alpha \frac{dp}{dt}$$

Rovnice kontinuity pro suchý vzduch

$$\frac{\partial \rho}{\partial t} = -\nabla \cdot (\rho \mathbf{V}) = -\rho \nabla \cdot \mathbf{V} - \mathbf{V} \cdot \nabla \rho$$
$$\Leftrightarrow \frac{d\alpha}{dt} = \alpha \nabla \cdot \mathbf{V}$$

Základní rovnice

Rovnice kontinuity pro vodní páru

$$\frac{dq}{dt} = S$$

Rovnice kontinuity pro oblačnou vodu a led

Advekce

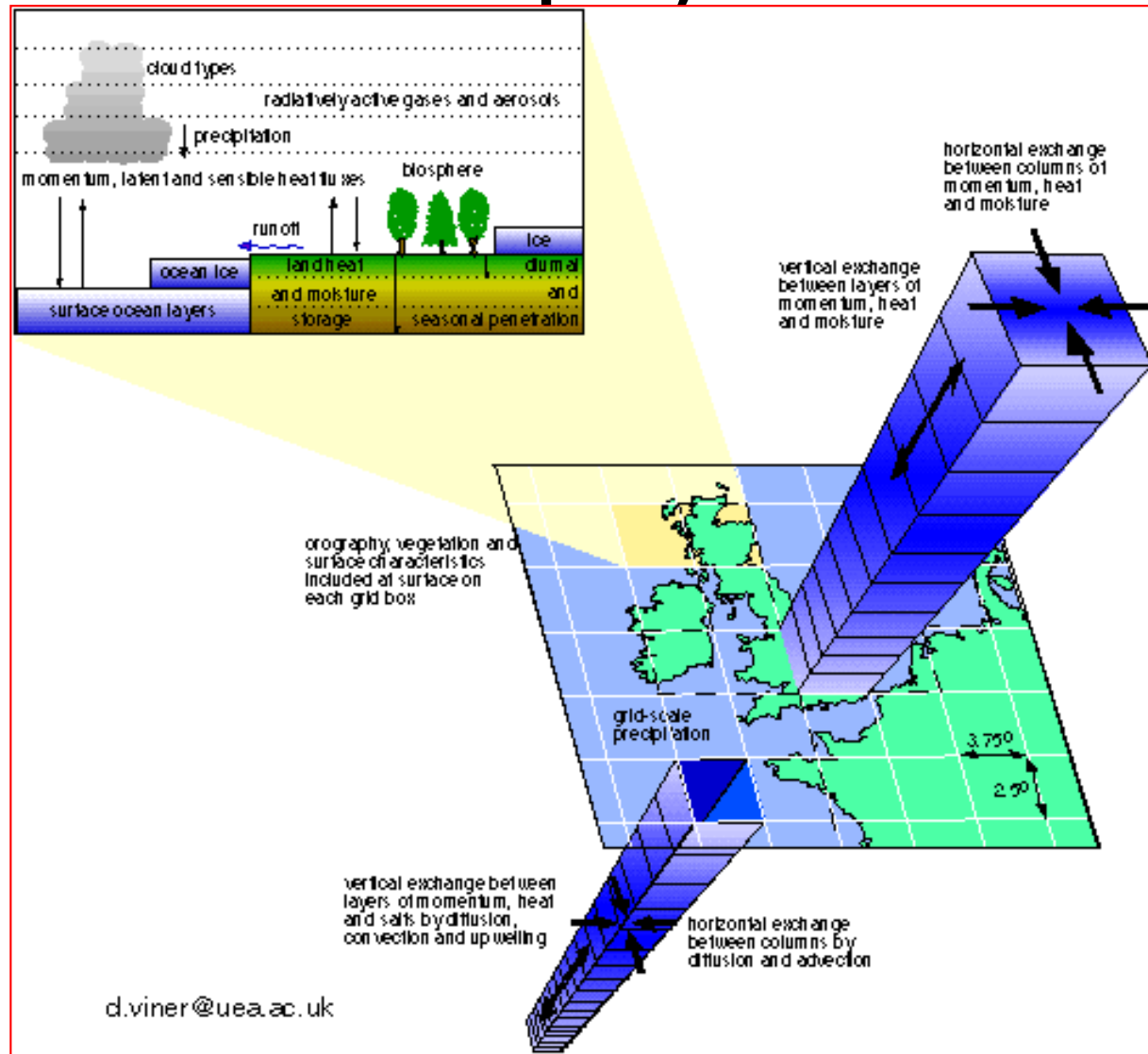
$$\frac{d(\bullet)}{dt} = \dots$$

• Lagrange
an

$$\frac{\partial(\bullet)}{\partial t} = -\mathbf{V} \cdot \nabla(\bullet) + \dots$$

• Euleria
n

Model physics



IPCC AR5



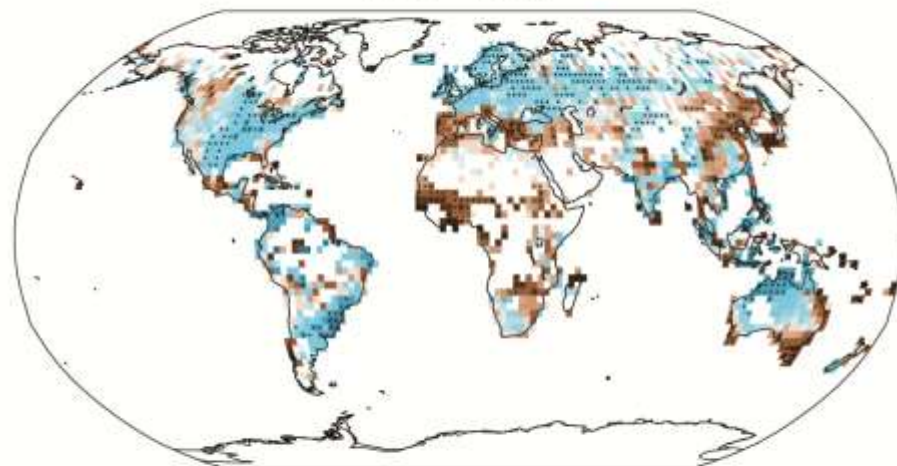
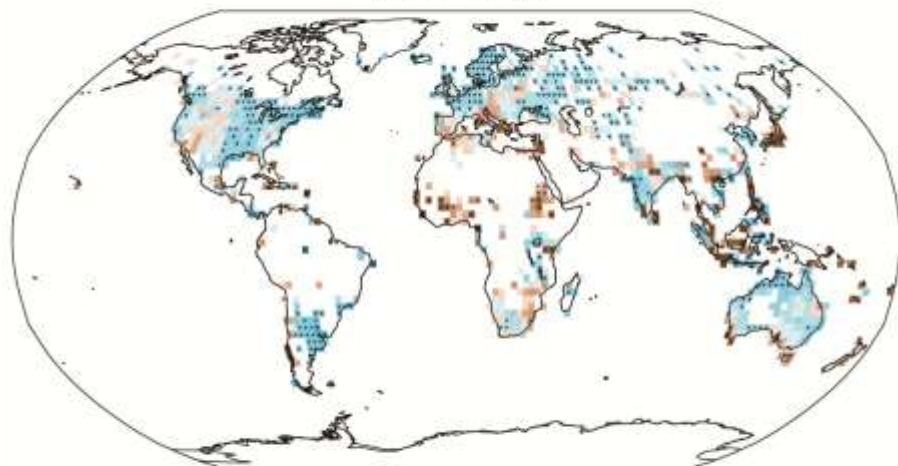
- 259 autorů
- 39 států
- 54 677 připomínek
- zveřejněna 27. 9. 2013
- další dvě části – důsledky klimatické změny, adaptace, mitigace v březnu a dubnu 2014

Změna srážek

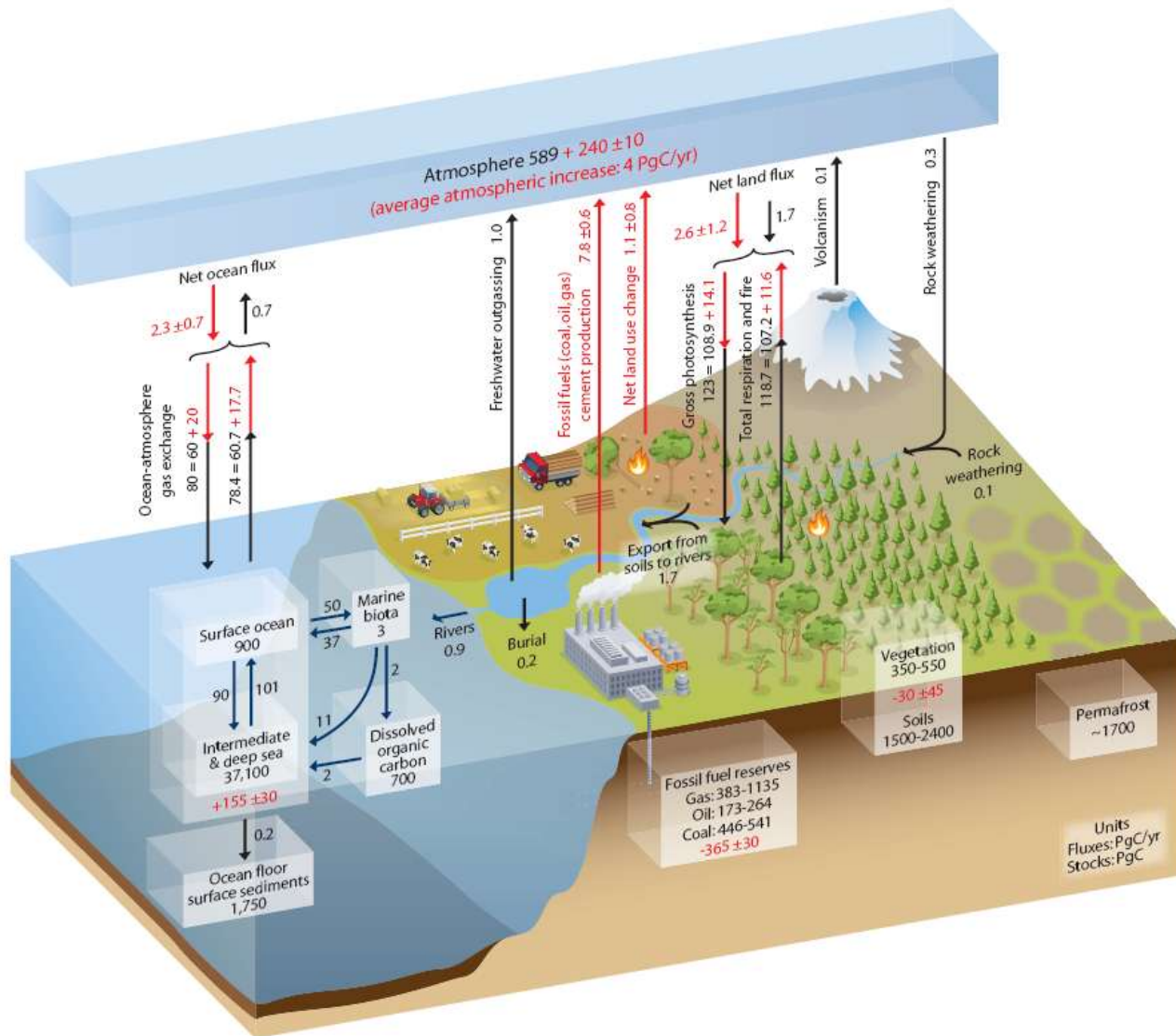
Observed change in annual precipitation over land

1901–2010

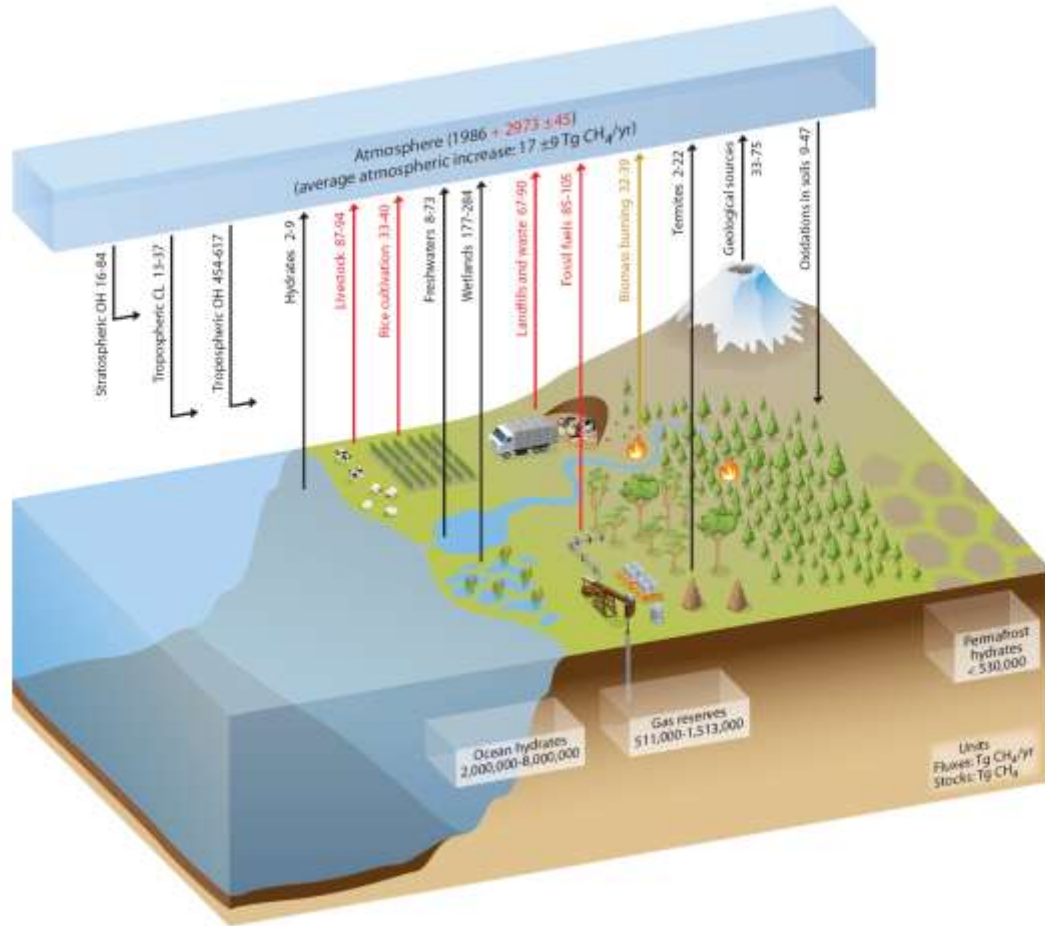
1951–2010



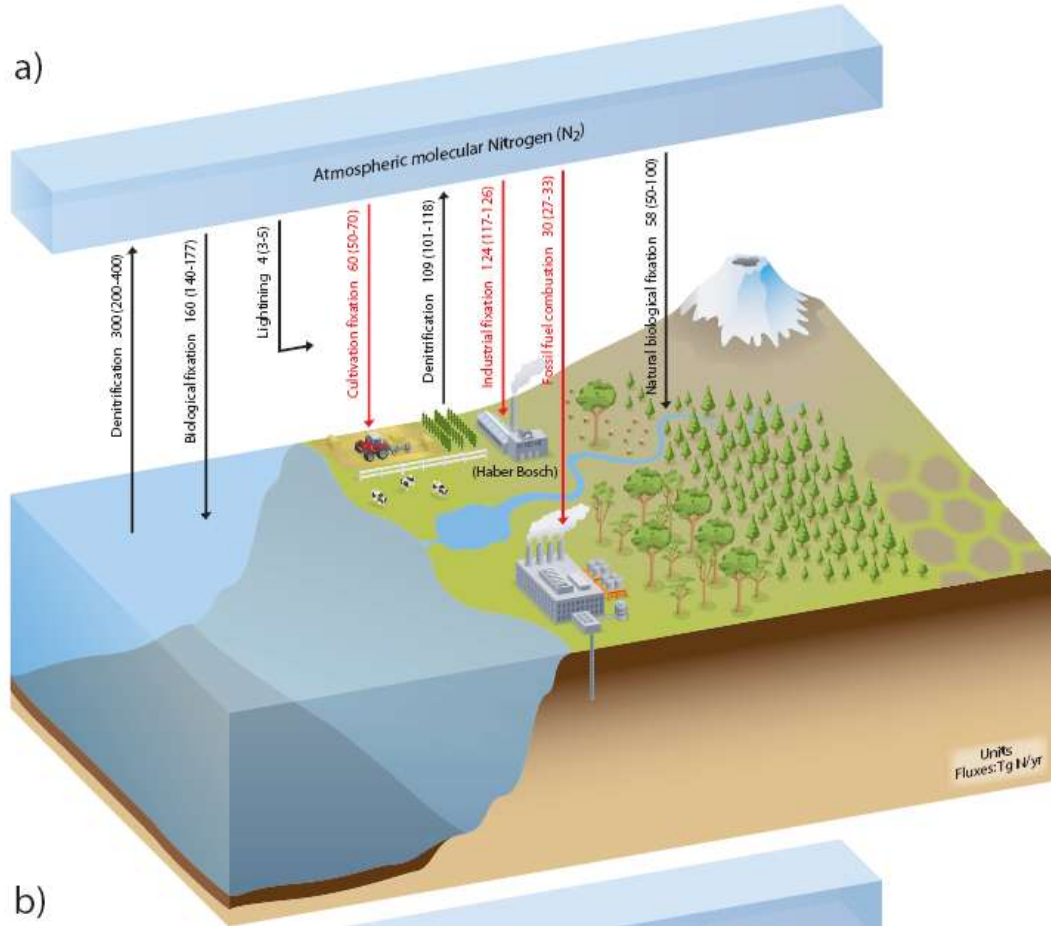
CO₂, uhlíkový cyklus



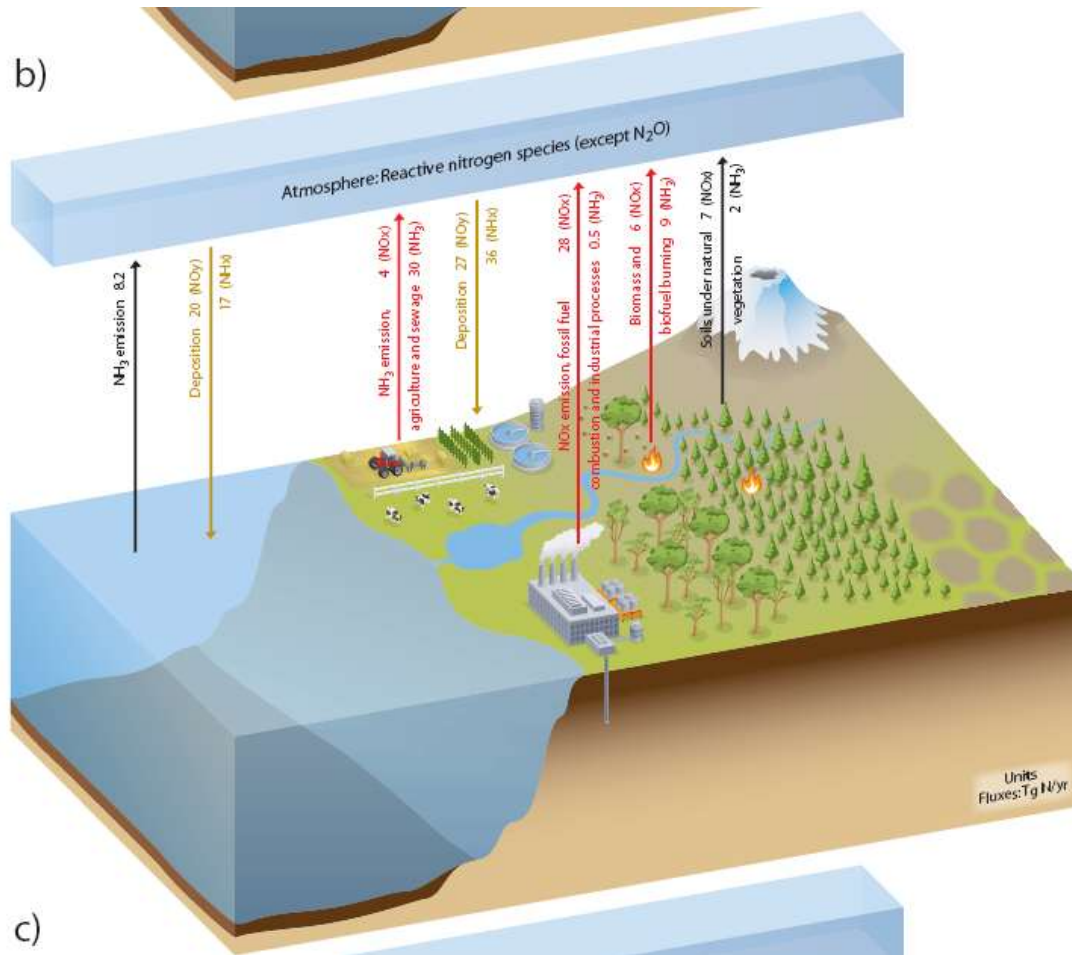
CH₄, cyklus metanu



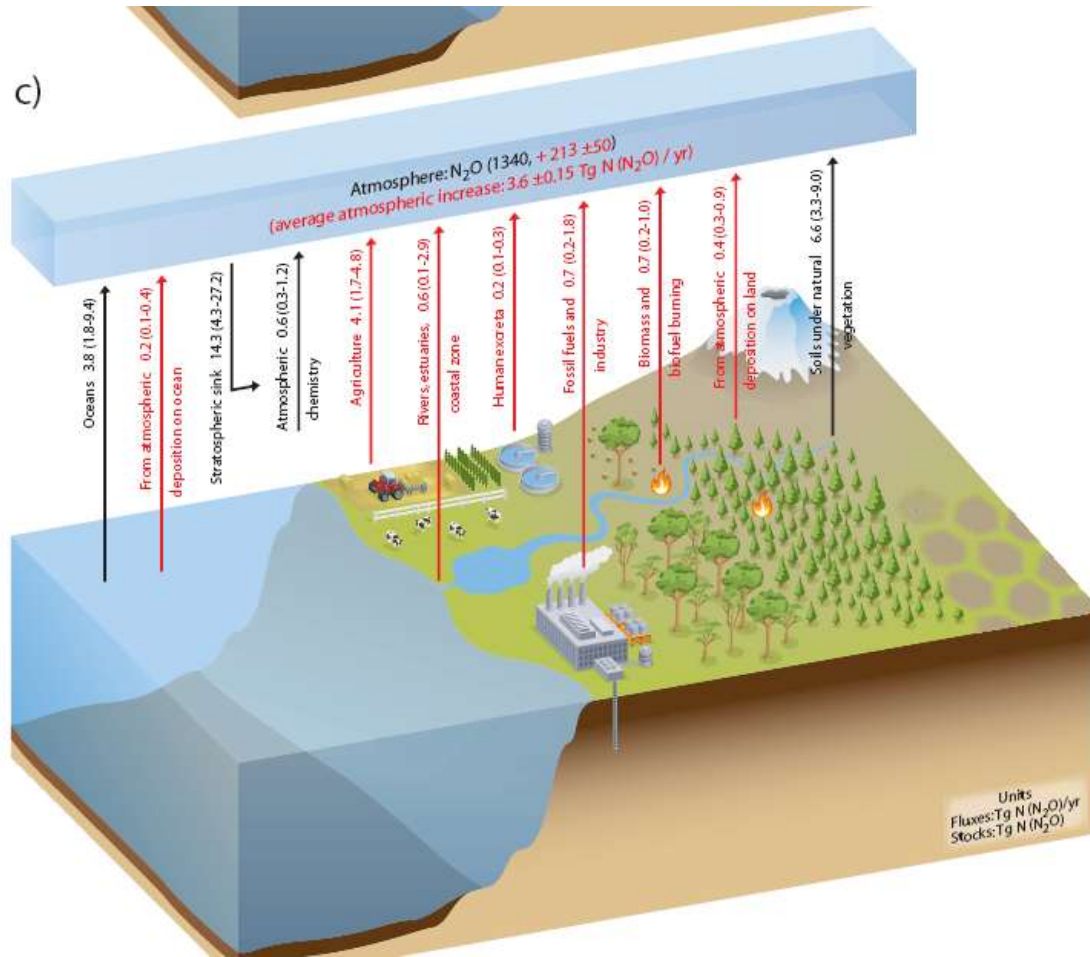
N₂, cyklus dusíku



Reagující N, bez N₂O



N₂O cyklus



CO₂ emise

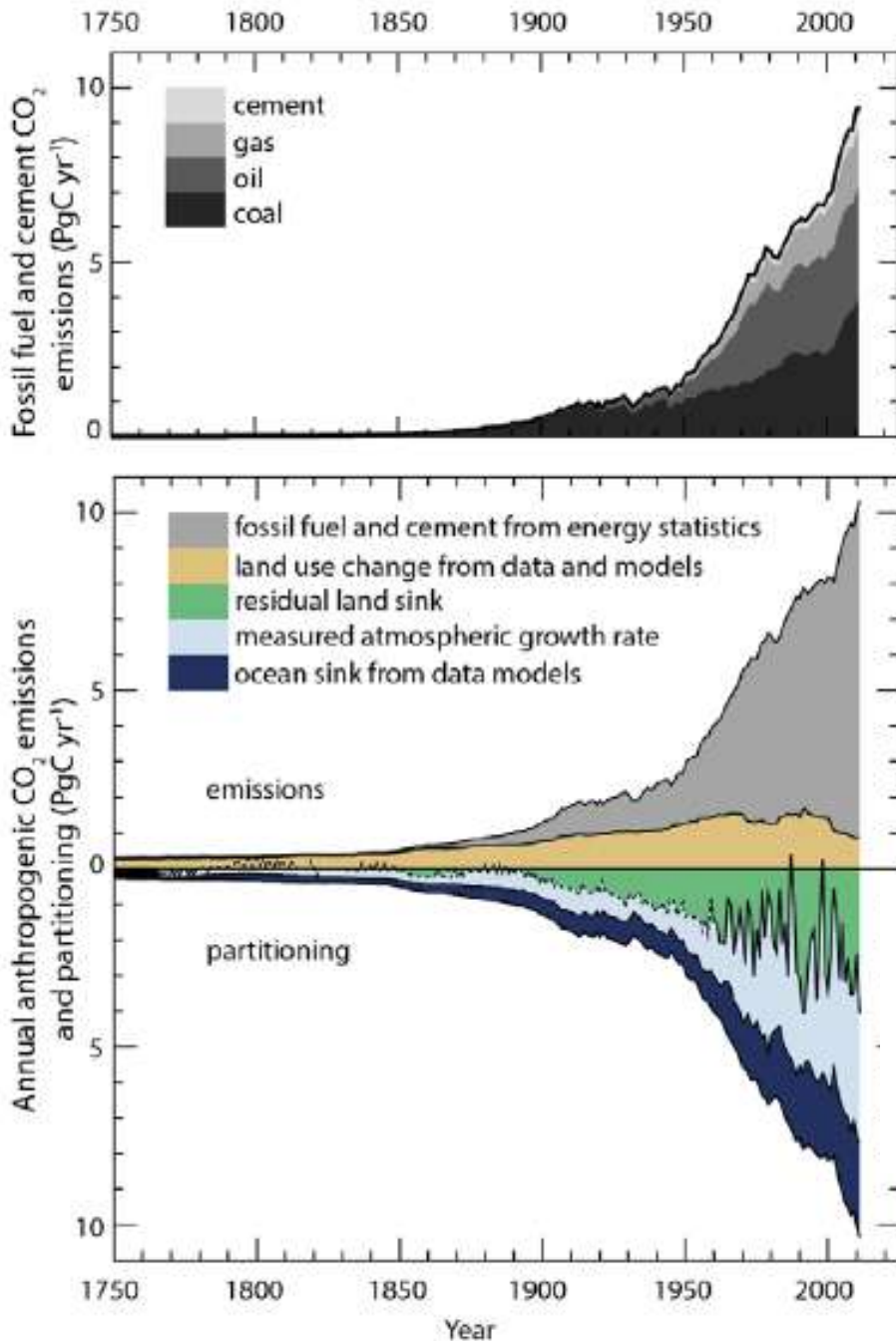
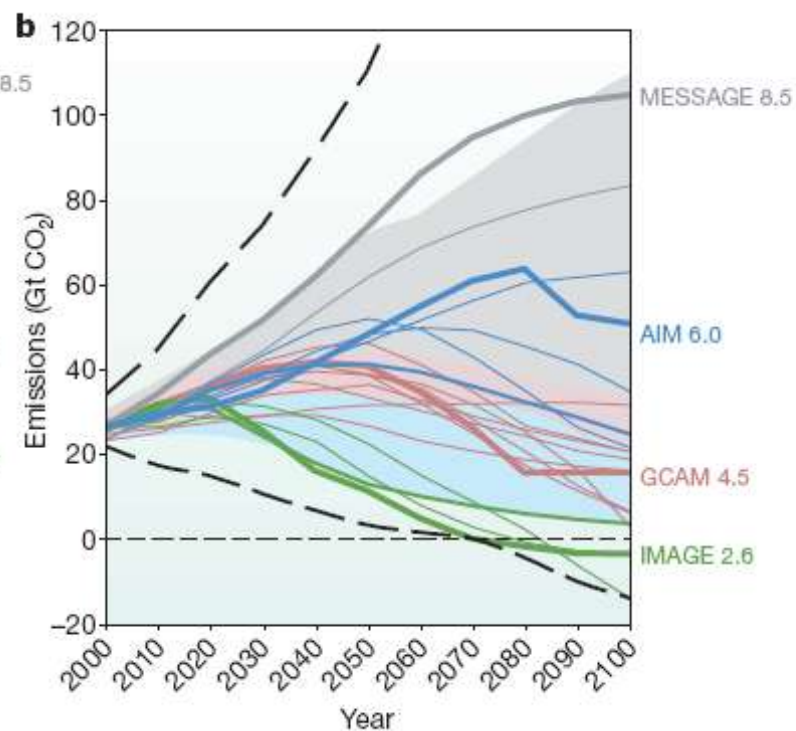
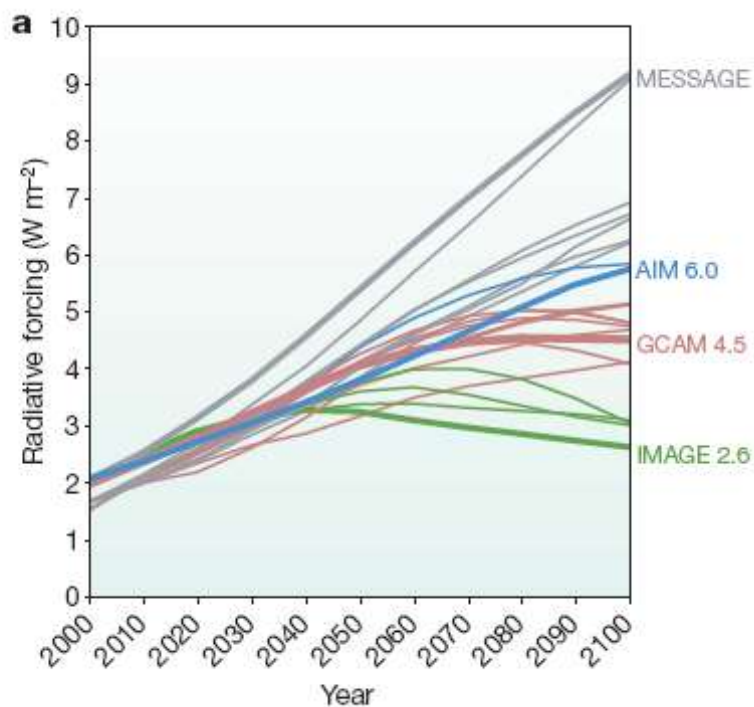


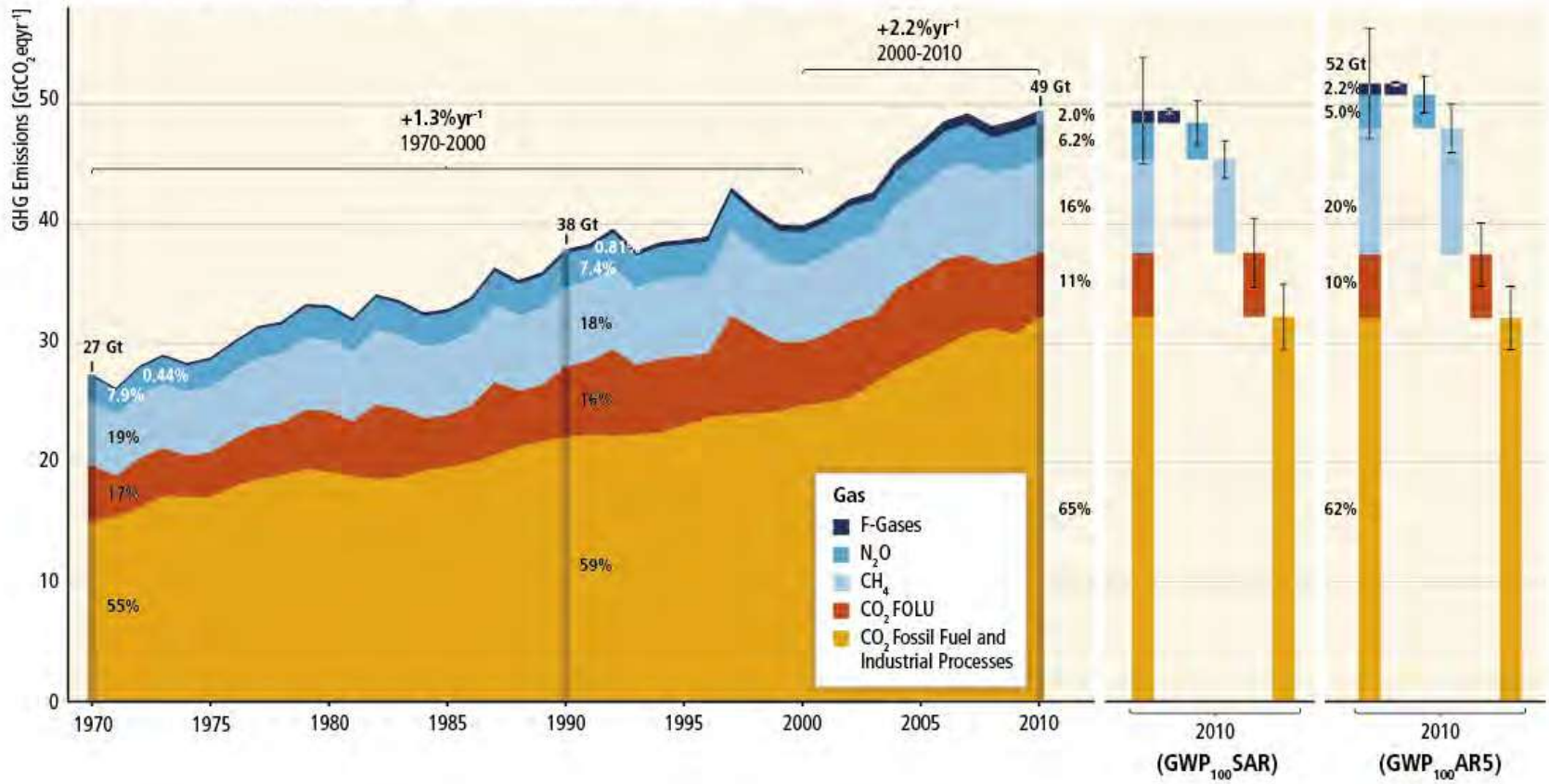
Figure TS.4: Annual anthropogenic CO₂ emissions and their partitioning among the atmosphere, land and ocean (PgC yr⁻¹) from 1750 to 2011. (Top) Fossil fuel and cement CO₂ emissions by category, estimated by the Carbon Dioxide Information Analysis Center (CDIAC). (Bottom) Fossil fuel and cement CO₂ emissions as above. CO₂ emissions from net land use change, mainly deforestation, are based on land cover change data (see Table 6.2). The atmospheric CO₂ growth rate prior to 1959 is based on a spline fit to ice core observations and a synthesis of atmospheric measurements from 1959. The fit to ice core observations does not capture the large interannual variability in atmospheric CO₂ and is represented with a dashed line. The ocean CO₂ sink is from a combination of models and observations. The residual terrestrial sink (term in green in the figure) is computed from the residual of the other terms. The emissions and their partitioning only include the fluxes that have changed since 1750, and not the natural CO₂ fluxes (e.g., atmospheric CO₂ uptake from weathering, outgassing of CO₂ from lakes and rivers, and outgassing of CO₂ by the ocean from carbon delivered by rivers; see Figure 6.1) between the atmosphere, land and ocean reservoirs that existed before that time and still exist today. The uncertainties in the various terms are discussed in chapter 6 and reported in Table 6.1 for decadal mean values. (Figure 6.8)

Scénáře změn skleníkových plynů

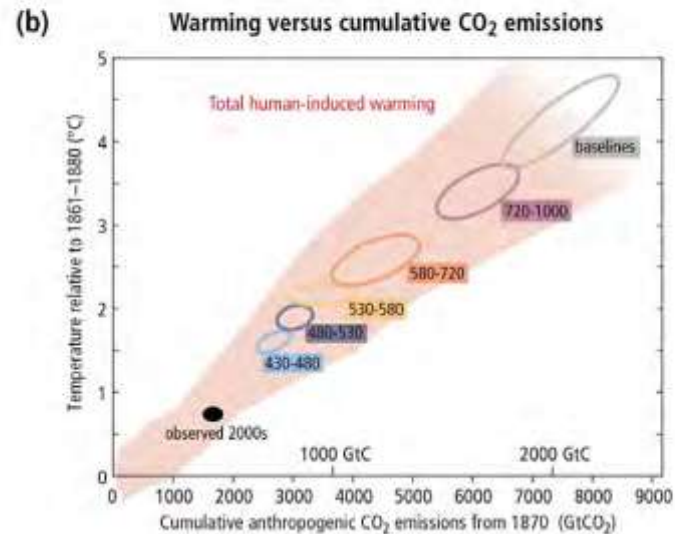
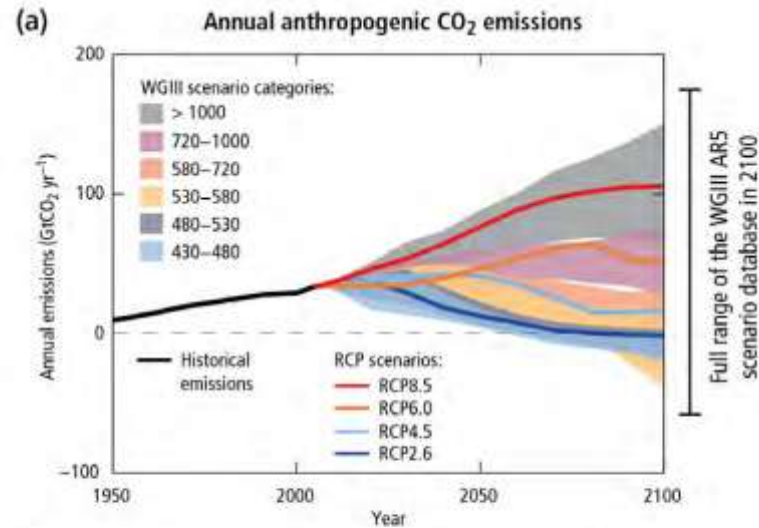
ů



Total Annual Anthropogenic GHG Emissions by Gases 1970-2010

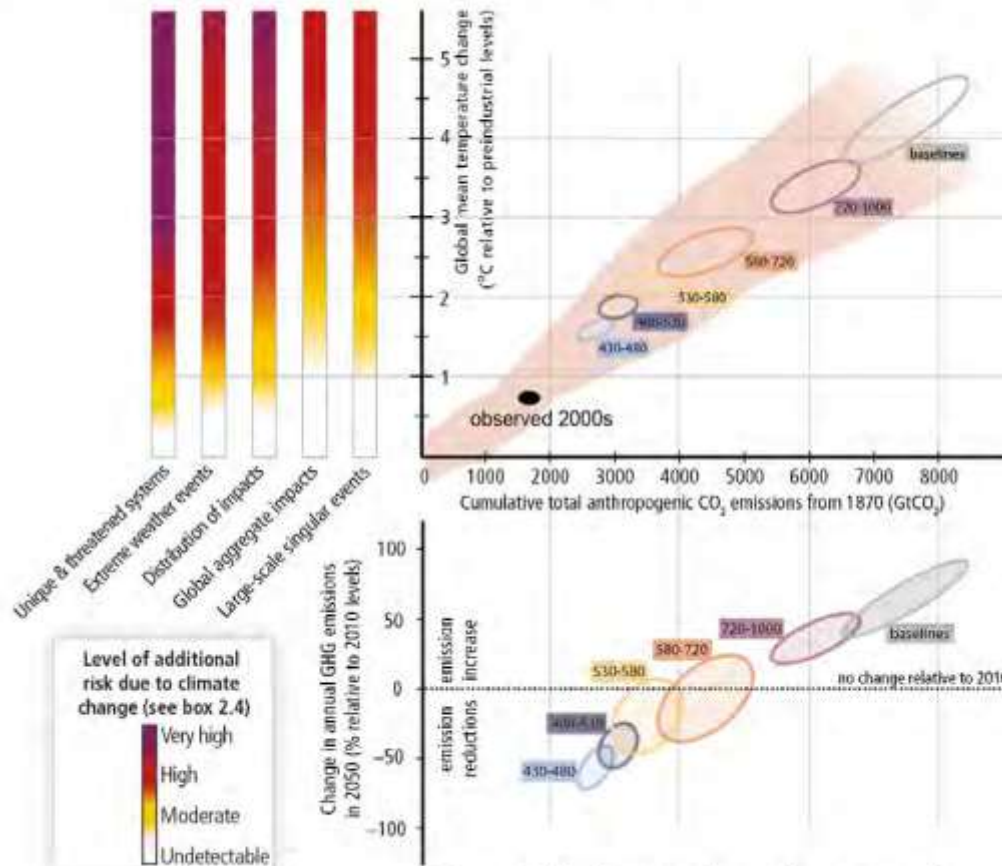


Zpět k emisím ...



... a jejich důsledkům

(A) Risks from climate change... (B) ...depend on cumulative CO₂ emissions...



(C) ...which in turn depend on annual GHG emissions over the next decades



Děkuji za pozornost !